

200 Dynamik: Kräfte und Impuls

210 *Ursache von Kräften*

220 *Fall- und Wurfbewegungen
mit Luftwiderstand*

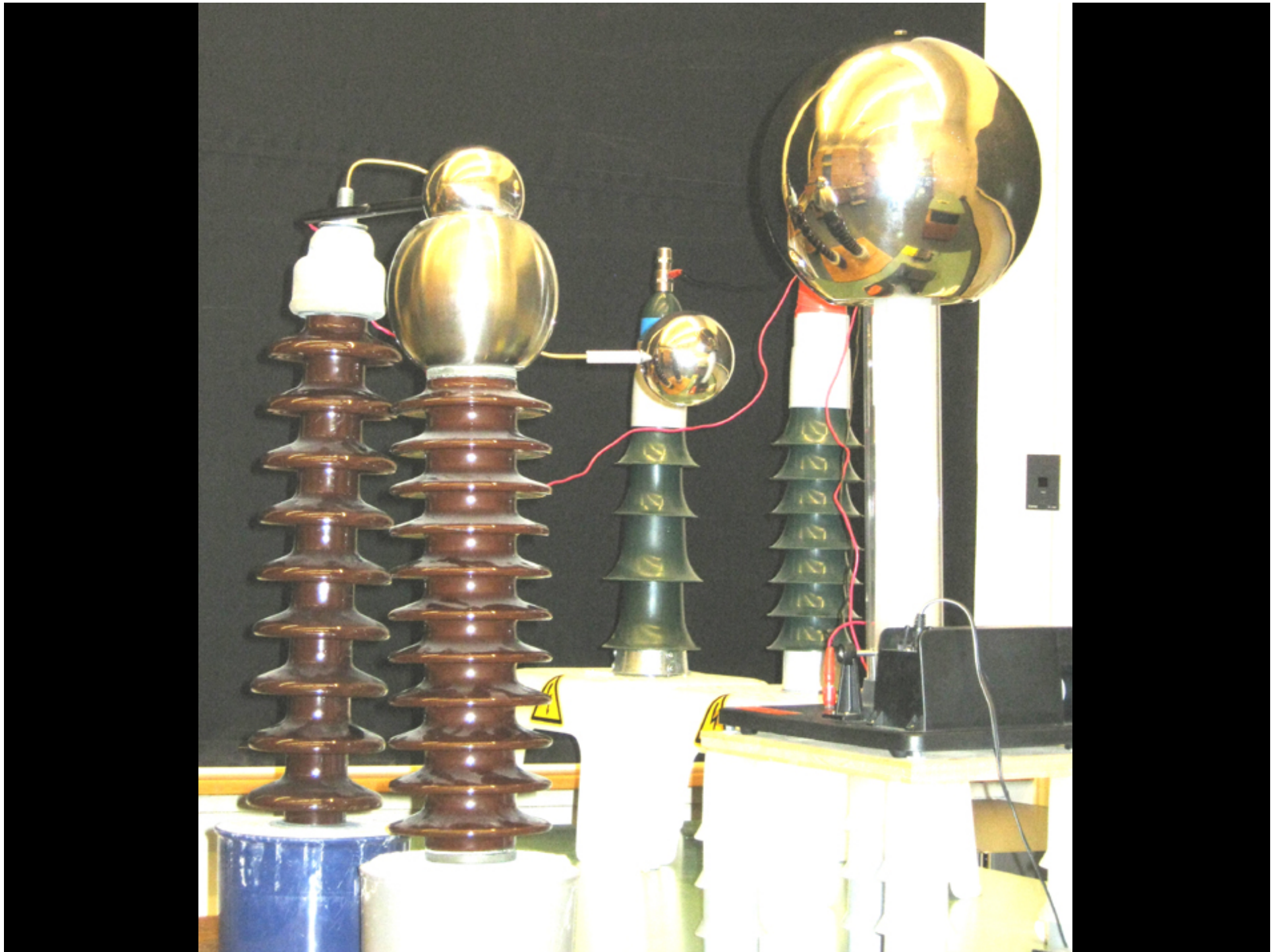
230 *Impuls*

um was geht es?

Kräfte als Ursache von
Beschleunigungen (da kommt die
Physik ins Spiel)

Kräfte als Impulsströme

Beschreibung von Systemen mittels
Kräfte und Impuls



211 Trägheit



211 Ziele

- Trägheitsprinzip erklären können
- Zentralkräfte bei Kreisbewegungen berechnen können

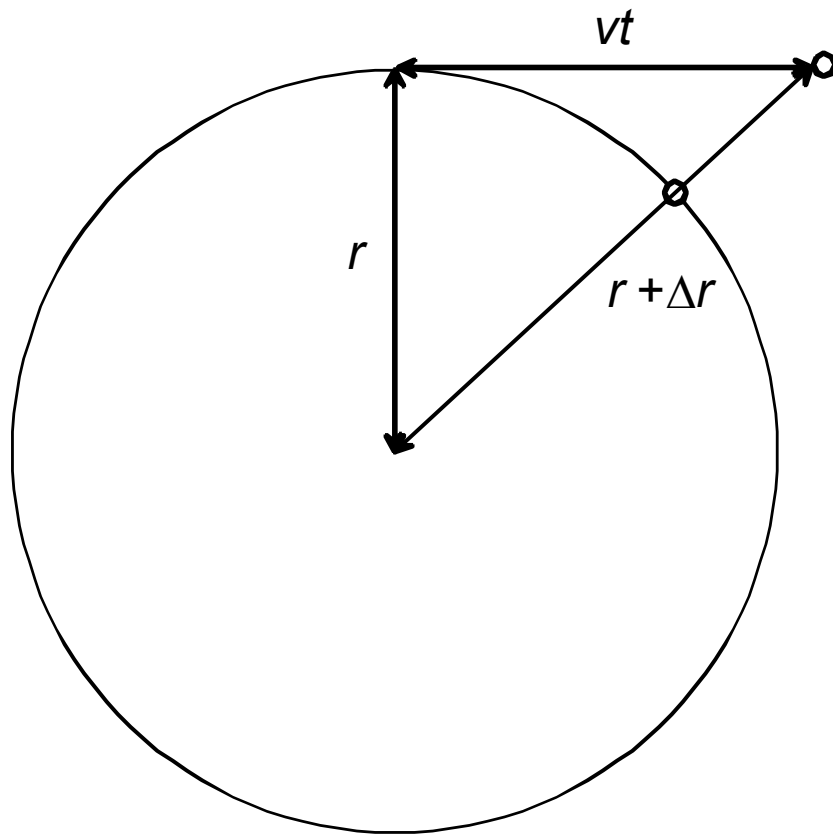
211 Theorie

Kraftwirkung führt zu Beschleunigung: je grösser die Masse, desto grösser die Trägheit (es braucht mehr Kraft, um eine gewisse Beschleunigung zu erreichen)

$$\vec{F} = m\vec{a} = m \cdot \begin{pmatrix} a_x \\ a_y \\ a_z \end{pmatrix} = \begin{pmatrix} F_x \\ F_y \\ F_z \end{pmatrix}$$

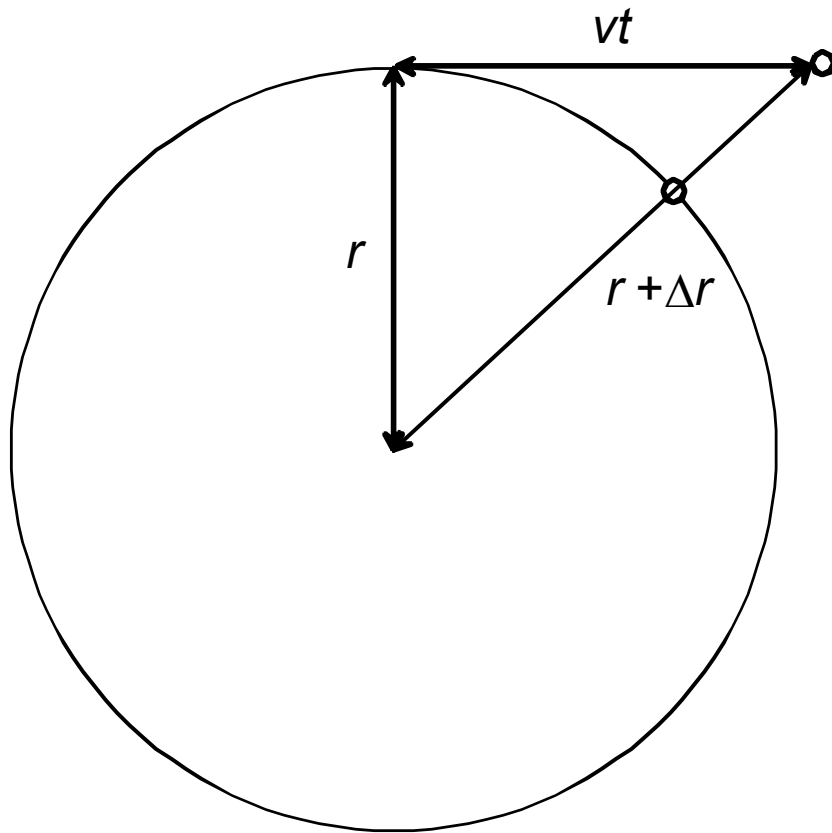
211 Theorie

Kreisbewegung



211 Theorie

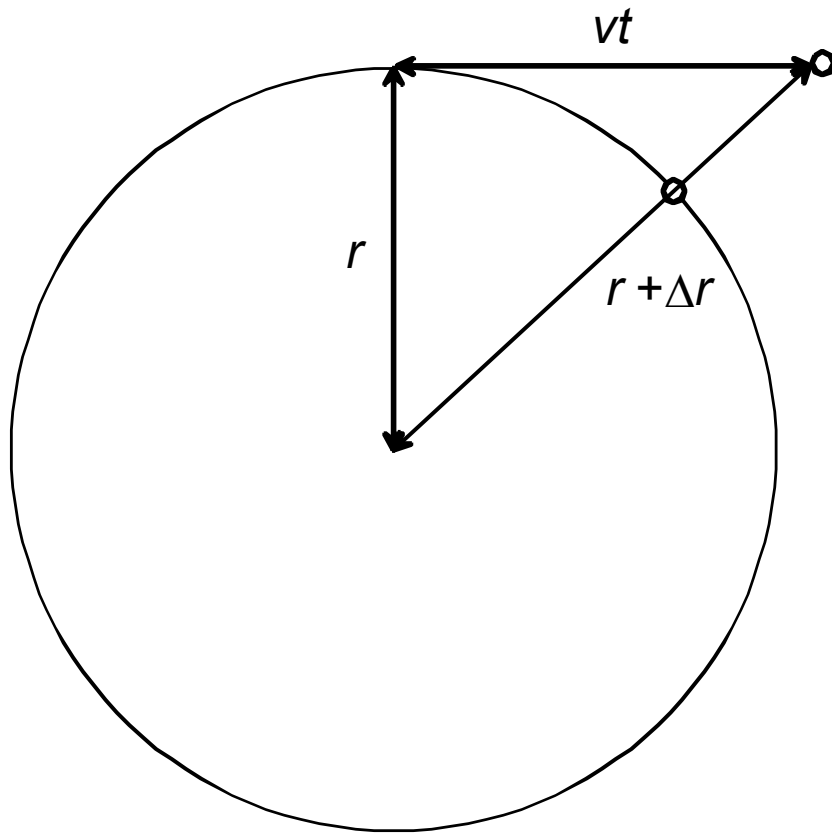
Kreisbewegung



$$(r + \Delta r)^2 = (v \cdot t)^2 + r^2$$

211 Theorie

Kreisbewegung

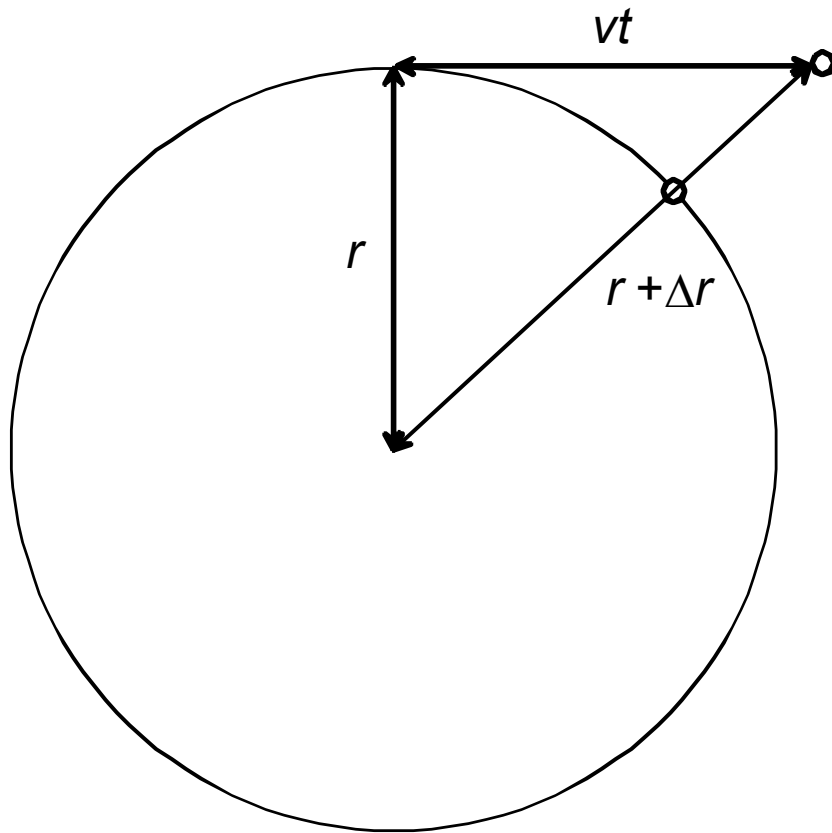


$$(r + \Delta r)^2 = (v \cdot t)^2 + r^2$$

$$r^2 + 2r \cdot \Delta r + \Delta r^2 = (v \cdot t)^2 + r^2$$

211 Theorie

Kreisbewegung



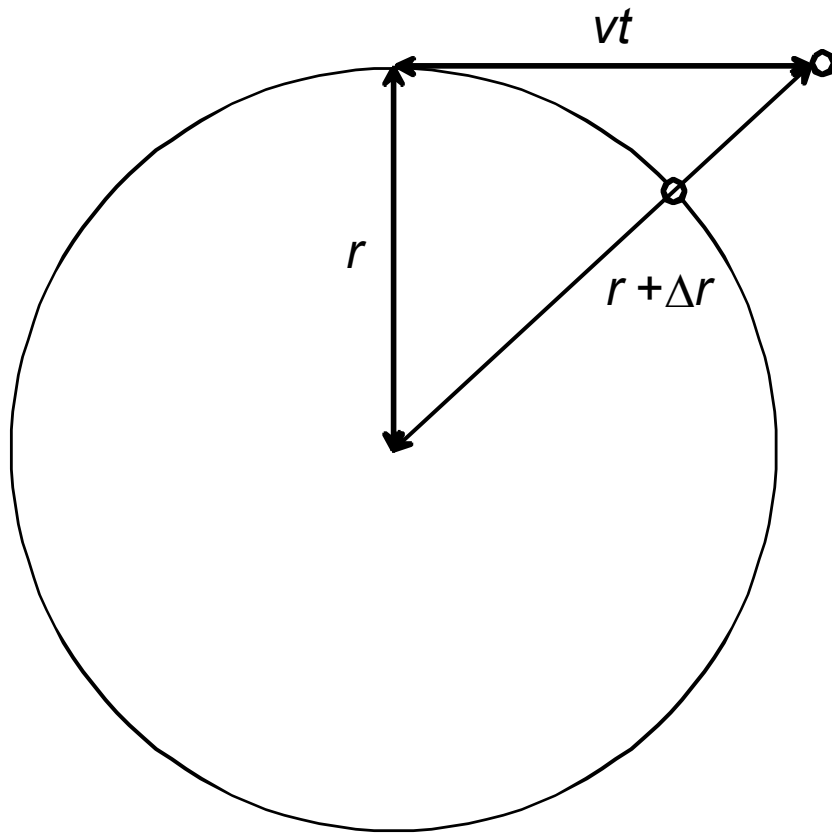
$$(r + \Delta r)^2 = (v \cdot t)^2 + r^2$$

$$r^2 + 2r \cdot \Delta r + \Delta r^2 = (v \cdot t)^2 + r^2$$

$$(2r + \Delta r) \cdot \Delta r$$

211 Theorie

Kreisbewegung



$$(r + \Delta r)^2 = (v \cdot t)^2 + r^2$$

$$r^2 + 2r \cdot \Delta r + \Delta r^2 = (v \cdot t)^2 + r^2$$

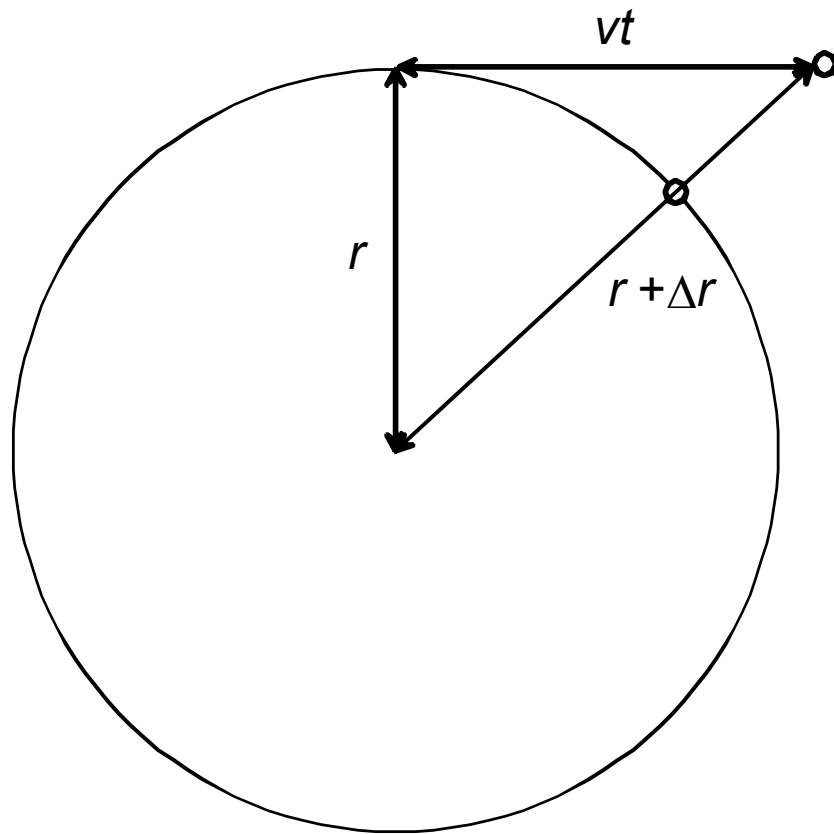
$$(2r + \Delta r) \cdot \Delta r$$

für $\Delta r \ll r$

$$\longrightarrow 2r \cdot \Delta r \approx v^2 t^2$$

211 Theorie

Kreisbewegung



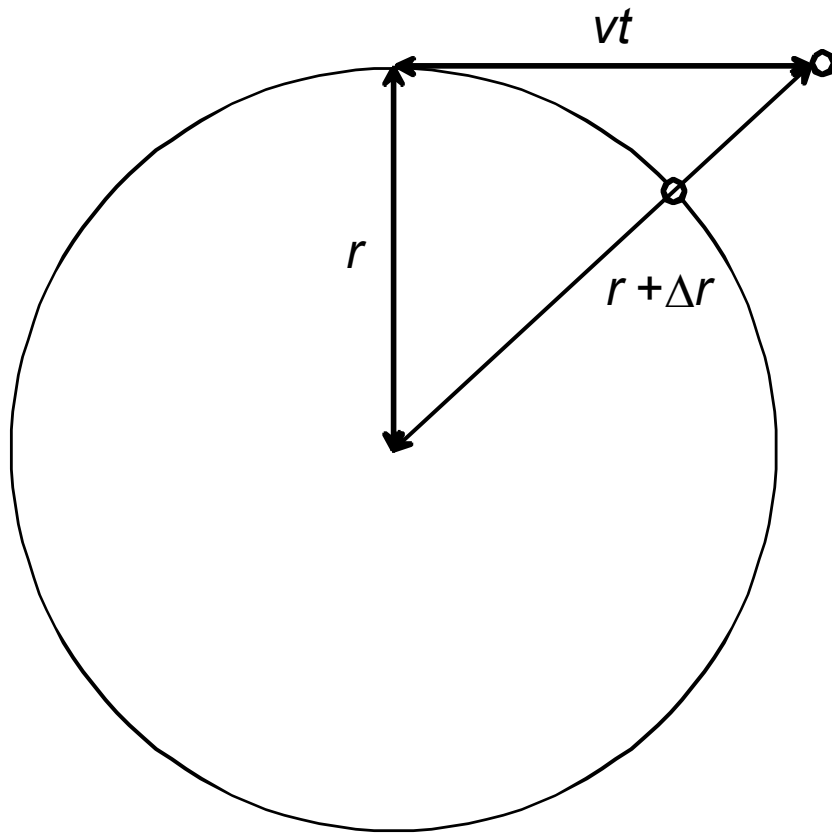
$$2r \cdot \Delta r \approx v^2 t^2$$



$$\Delta r \approx \frac{1}{2} \left(\frac{v^2}{r} \right) \cdot t^2$$

211 Theorie

Kreisbewegung

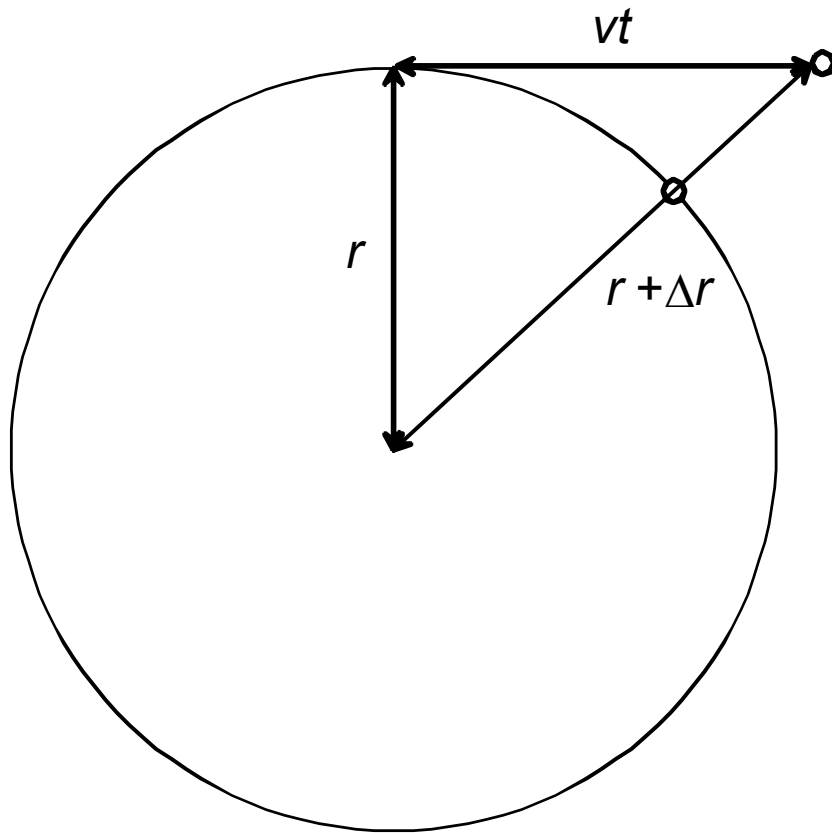


$$2r \cdot \Delta r \approx v^2 t^2$$

$$\rightarrow \Delta r \approx \frac{1}{2} \left(\frac{v^2}{r} \right) \cdot t^2 = \frac{1}{2} a t^2$$

211 Theorie

Zentralkraft



$$F_Z = m \cdot \frac{v^2}{r} = m \cdot a_Z$$

211 Theorie

Winkelgeschwindigkeit

$$v = \frac{ds}{dt}$$

211 Theorie

Winkelgeschwindigkeit

$$v = \frac{ds}{dt} = \frac{d}{dt} [r\varphi]$$

211 Theorie

Winkelgeschwindigkeit

$$v = \frac{ds}{dt} = \frac{d}{dt} [r\varphi] = r \cdot \frac{d\varphi}{dt}$$

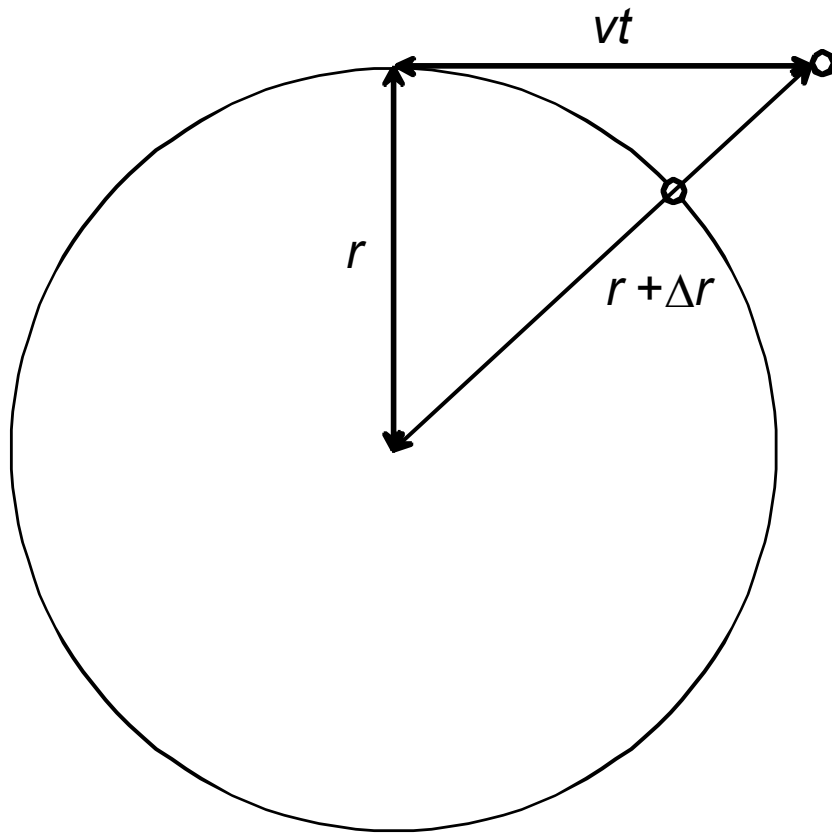
211 Theorie

Winkelgeschwindigkeit

$$v = \frac{ds}{dt} = \frac{d}{dt} [r\varphi] = r \cdot \frac{d\varphi}{dt} = r \cdot \omega$$

211 Theorie

Zentralkraft mit
Winkelgeschwindigkeit

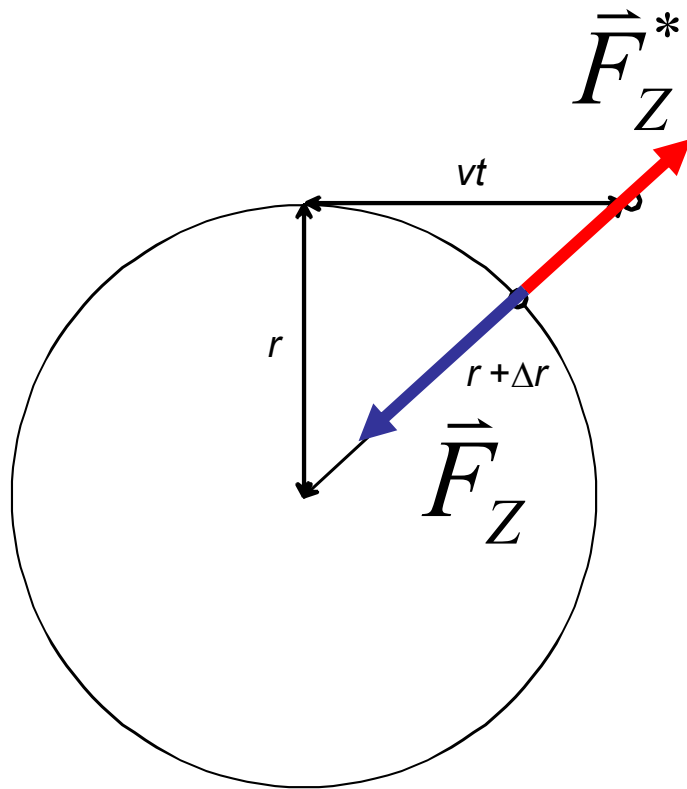


$$F_Z = m \cdot \frac{v^2}{r} = m \cdot a_Z$$

$$F_Z = mr\omega^2$$

211 Theorie

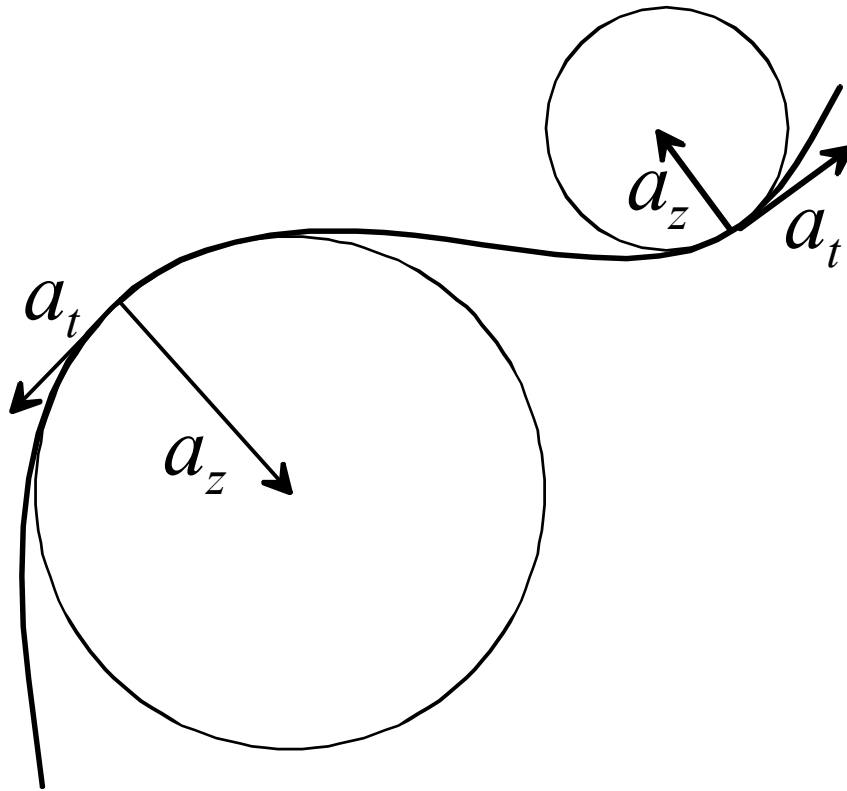
Zwei Perspektiven: ruhender Beobachter (Laborsystem) und Beobachter im rotierenden System



$$\vec{F}_Z^* = -\vec{F}_Z$$

211 Theorie

krummlinige Bewegungen



212 fundamentale Wechselwirkungen



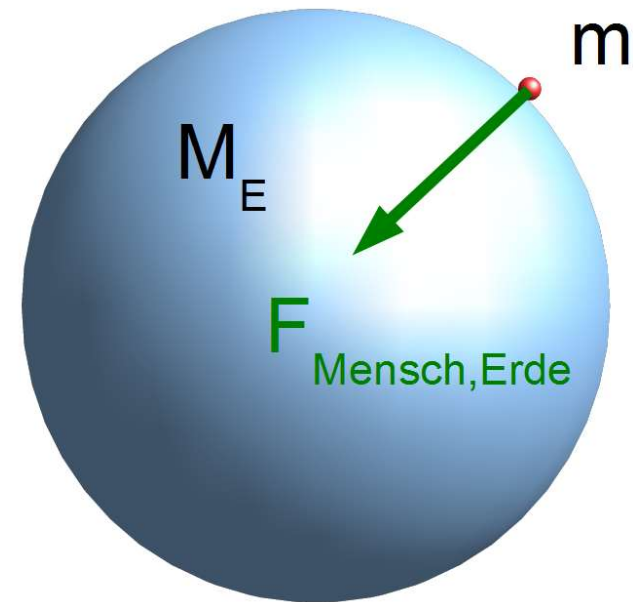
212 Ziele

- Analogie zwischen Gravitation und Elektrizität beschreiben können
- Begriff fundamentale WW beschreiben können
- Gravitationskräfte und elektrische Kräfte für Punktmassen bzw. Punktladungen berechnen können

“Schwerebeschleunigung“ g

$$\vec{F}_{\text{Mensch,Erde}} = -\gamma \frac{mM_E}{|\vec{r}_{mM_E}|^2} \vec{n}_{mM_E}$$

Aus Gründen, die wir nicht detailliert besprechen, beziehen sich Distanzen in Gravitationsgesetzrechnungen (bei uns) immer auf die Distanz der jeweiligen Schwerpunkte der beiden Massen.

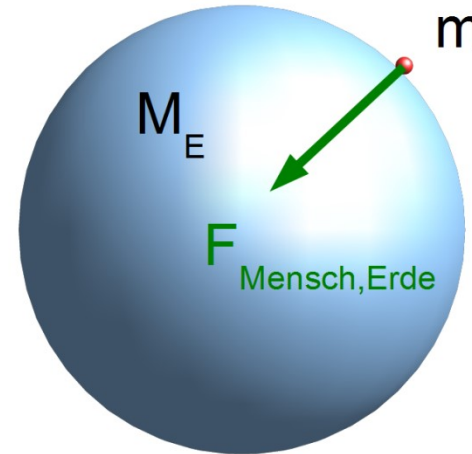


“Schwerebeschleunigung“ g

$$m\vec{a} = -\gamma \frac{mM_E}{|\vec{r}_{mM_E}|^2} \vec{n}_{mM_E}$$

$$\vec{a} = -\gamma \frac{M_E}{|\vec{r}_{mM_E}|^2} \vec{n}_{mM_E}$$

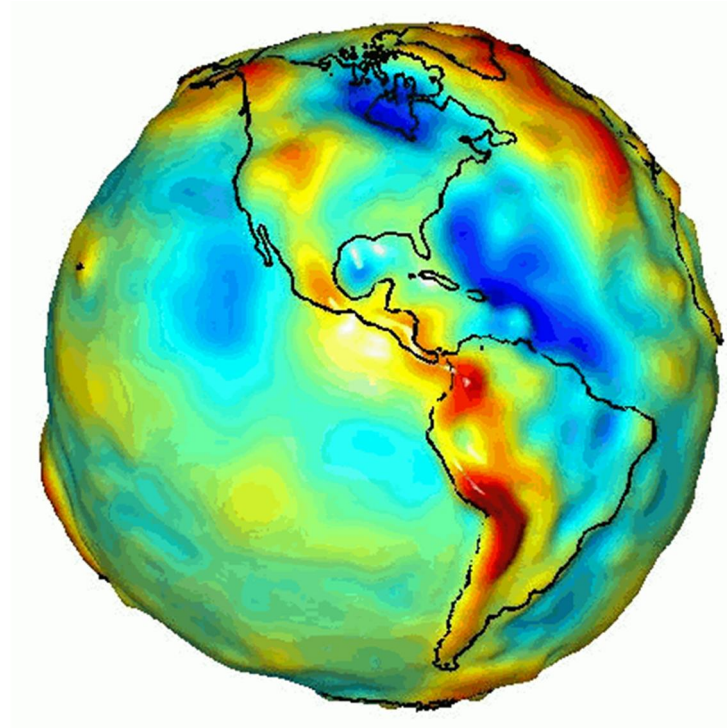
$$|\vec{a}| = \text{const.} = g$$



- Sie sehen, warum wir häufig g als "Erdbeschleunigung" bezeichnen.
- Die Konstante g ist nicht wirklich konstant: Die obige Überlegung stimmt nur für eine perfekte Kugel mit einer Massendichte, die nur vom Abstand zum Mittelpunkt der Kugel abhängt. Es stimmt aber fast.

“Schwerebeschleunigung“ g

- In der Tat variiert g leicht. Hier sehen Sie eine Karte, die diese Variation illustriert.



GRACE mission, NASA

212 Theorie

$$F_G = \gamma \cdot \frac{mM}{r^2}$$

Gravitation: Massen m und M , Gravitationskonstante γ

212 Theorie

$$F_G = \gamma \cdot \frac{mM}{r^2}$$

Gravitation: Massen m und M , Gravitationskonstante γ

Elektrizität: Ladungen q und Q , Feldkonstante ε_0

$$F_E = \frac{1}{4\pi\varepsilon_0} \cdot \frac{qQ}{r^2}$$

212 Theorie

$$F_G = \gamma \cdot \frac{mM}{r^2}$$

Gravitation: Massen m und M , Gravitationskonstante γ

Elektrizität: Ladungen q und Q , Feldkonstante ε_0

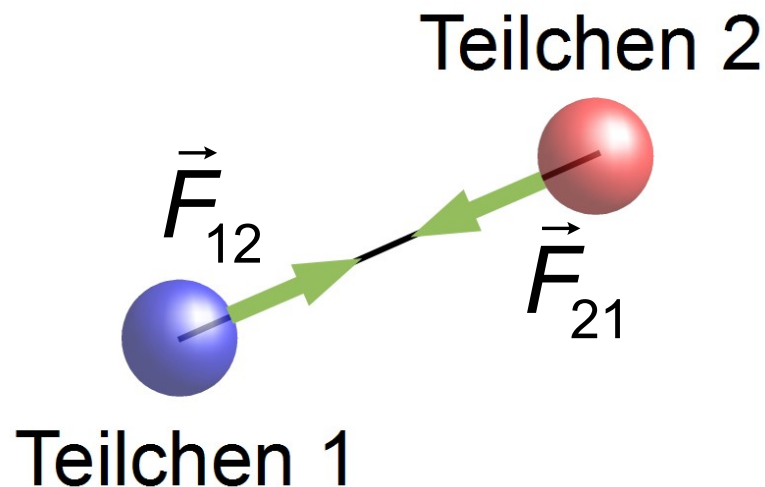
Wechselwirkung

$$F_E = \frac{1}{4\pi\varepsilon_0} \cdot \frac{qQ}{r^2}$$

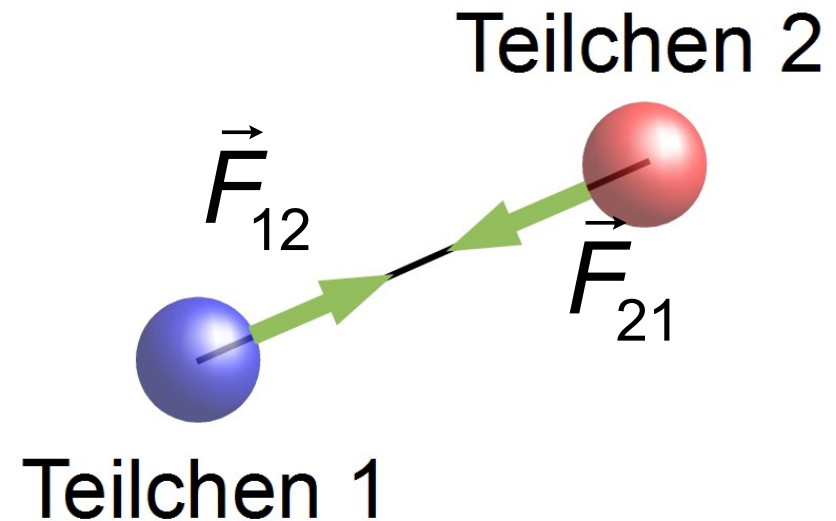
$$\vec{F}_{mM} = -\vec{F}_{Mm}$$

Physik und Kinematik: Zentralkräfte

- Die Kräfte zwischen den Massenpunkten/Teilchen sind in der Regel **Zentralkräfte**: sie liegen auf der Richtung der Verbindungsachse zwischen den Teilchen.
- Dass die Kräfte Zentralkräfte sind, kann aus tieferliegenden (Symmetrie-) Gründen motiviert werden; es ist aber an sich nicht zwingend der Fall.
- Die Grösse der Kraft hängt i.A. vom Abstand zwischen den Teilchen ab.



Zentralkräfte

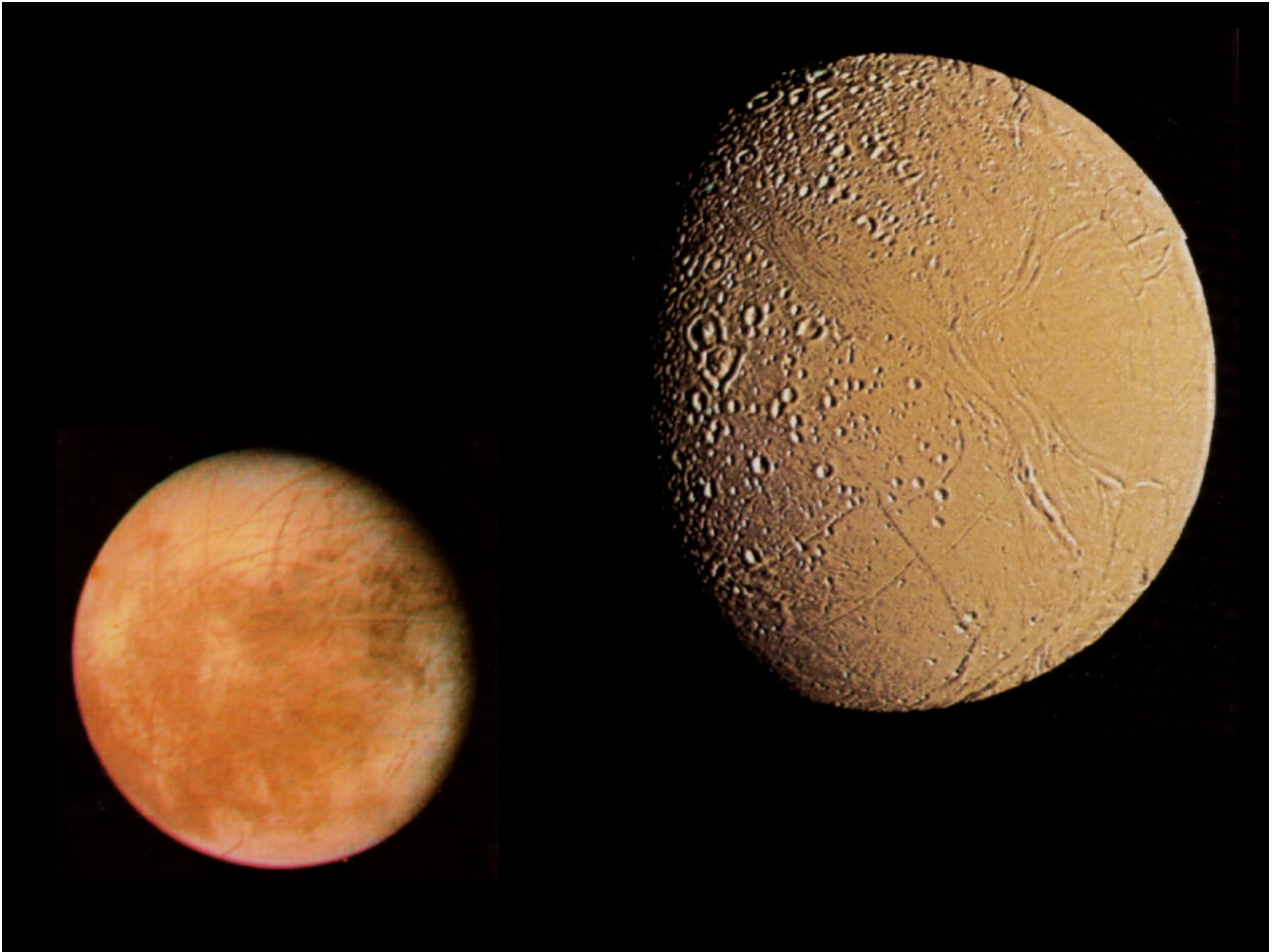


$$\vec{a}_i = \frac{1}{m_i} \left(\sum_{j \neq i}^N \vec{F}_{ij}^{\text{intern}} + \sum_k^K \vec{F}_{ik}^{\text{extern}} \right)$$

$\vec{F}_{ij}^{\text{intern}}$: Kraft auf Teilchen i , verursacht durch Teilchen j .

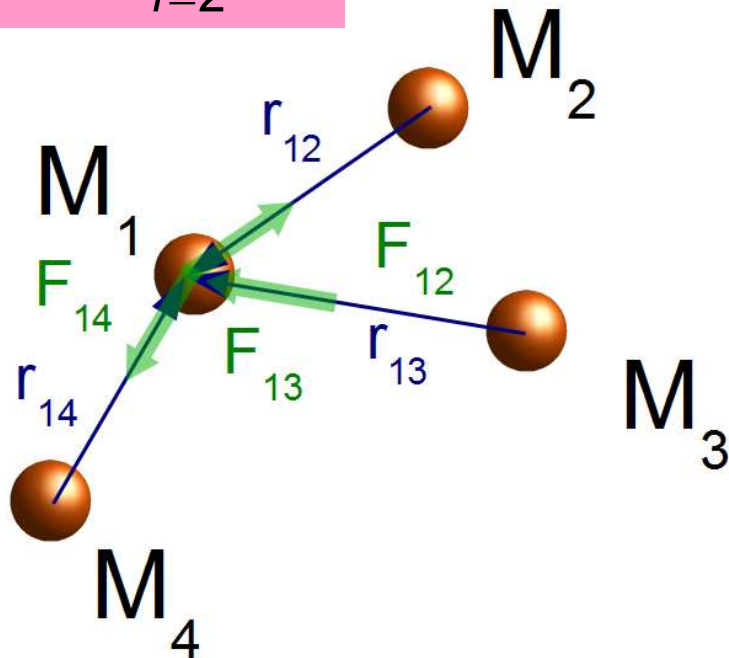
$\vec{F}_{ik}^{\text{extern}}$: Externe Kraft k (von K) auf Teilchen i .





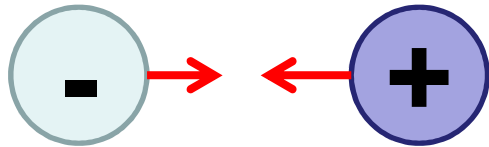
Superpositionsprinzip

$$\vec{F}_1 = \sum_{i=2}^4 \vec{F}_{1i}$$

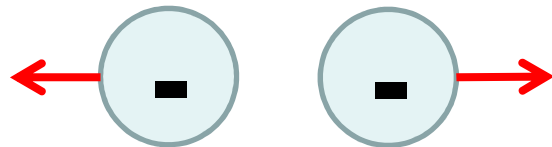
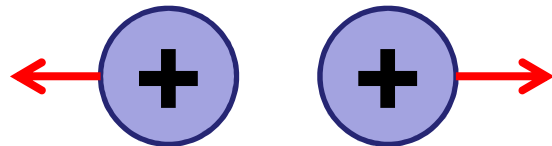


Der tiefere Punkt des Superpositionsprinzips ist, dass alle Einwirkungen auf eine Masse als Summe von Paarwechselwirkungen verstanden werden können! → Was Hans macht, kann verstanden werden durch den Einfluss den Vreni auf ihn hat plus den Einfluss, den Fritz auf ihn hat. Die Einflüsse von Fritz und Vreni addieren sich aber beeinflussen sich nicht!

Elektrische Kräfte



Elektrische Ladung

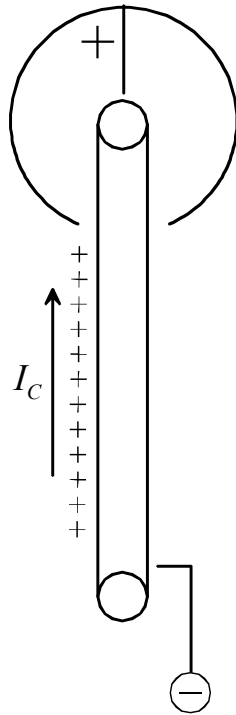


- «Menge an Elektrizität»
- Wechselwirkung: Die Kraftwirkung ist gegenseitig und geht auch durchs Vakuum (elektrisches Feld)
- Anziehende Kräfte zwischen Ladungen mit unterschiedlichem Vorzeichen
- Abstossende Kräfte zwischen Ladungen mit gleichem Vorzeichen

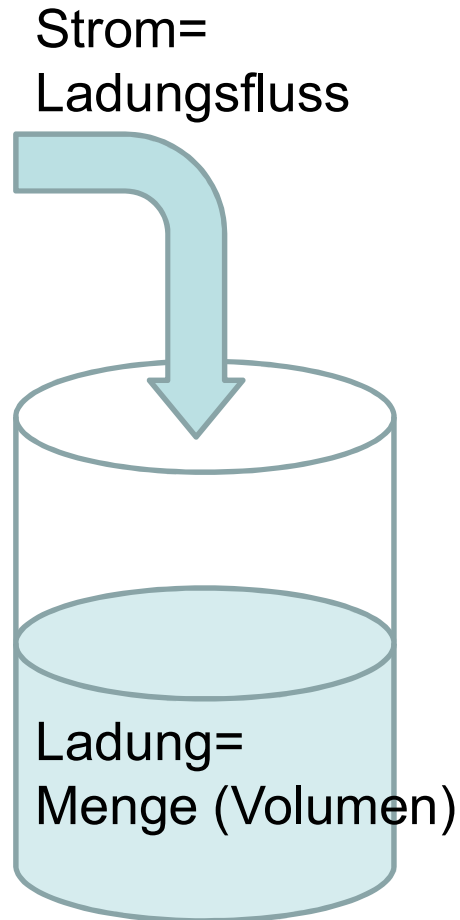
212 Experiment

Band- oder Van de Graaf-Generator

$$I_C = \frac{dQ}{dt}$$



Elektrische Ladung und Strom



Elektrischer Strom, Stromstärke

- Elektrische Ladung kann fließen
- wenn Ladung durch einen Draht fließt, fließt ein elektrischer Strom
- Stromstärke entspricht der elektrischen Ladung, welche pro Zeit durch einen Leiter fließt.
- Die Stromstärke wird in Ampère (A) gemessen.
- Bandgenerator: Ladestrom via Kunststoffband (wenige μA)

213 Reibungskräfte



213 Ziele

- Gleit- und Haftreibungskräfte für ein fache Beispiele berechnen können

213 Theorie

$$F_R = \mu_G \cdot F_N$$

Gleitreibung

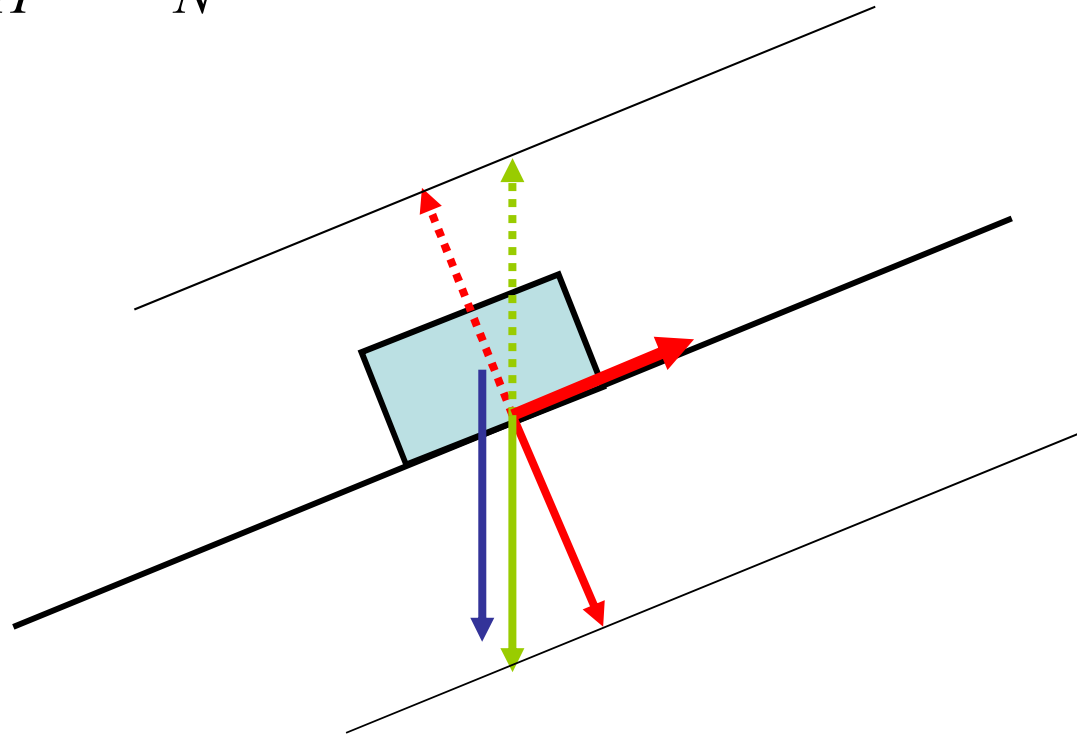
213 Theorie

$$F_R = \mu_G \cdot F_N$$

Gleitreibung

Haftreibung

$$F_R \leq \mu_H \cdot F_N$$



213 Theorie

	μ_G	μ_H
Holz auf Holz	0.4	0.6
Stahl auf Stahl	0.1	0.15
Pneu auf trockenem Asphalt	0.6	1.0
Stahl auf Eis	0.014	0.027

221 freier Fall mit Luftwiderstand

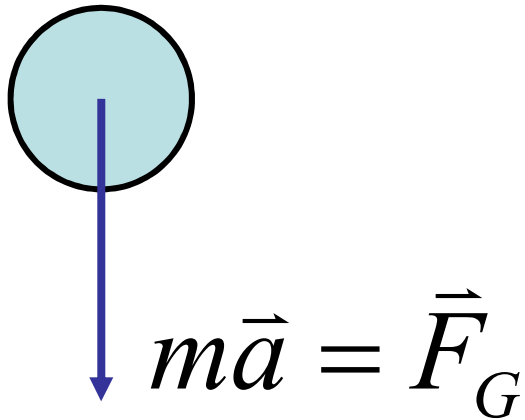


221 Ziele

- Fallbewegung als dynamischer Prozess verstehen können
- Fallbewegung als dynamischer Prozess beschreiben können
- Unterschied zwischen Differentialgleichung und Lösungsfunktion dieser DGL kennen

221 Theorie

Fallbewegung

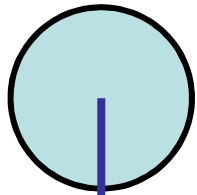


$$ma = \sum_i F_i$$

$$\longrightarrow ma = mg$$

221 Theorie

Fallbewegung



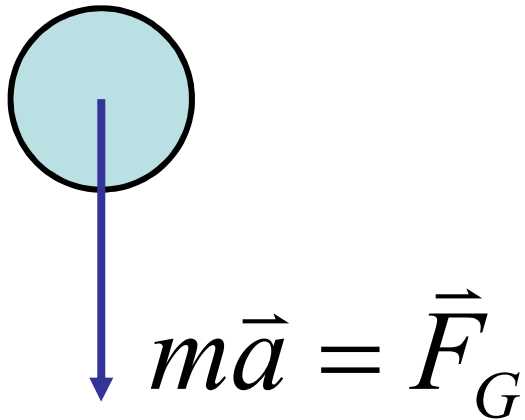
$$m\vec{a} = \vec{F}_G$$

$$ma = mg$$

$$\longrightarrow \frac{dv}{dt} = g$$

221 Theorie

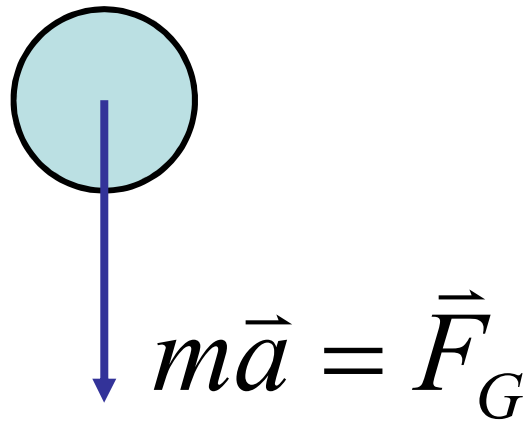
Lösung für die Gleichung



$$\frac{dv}{dt} = g$$

221 Theorie

Lösung für die Gleichung

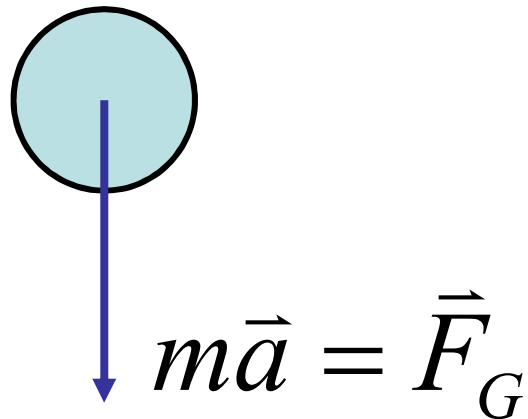


$$\frac{dv}{dt} = g$$

$$\longrightarrow v(t) = g \cdot t + c$$

221 Theorie

Lösung für die Gleichung



$$\frac{dv}{dt} = g$$

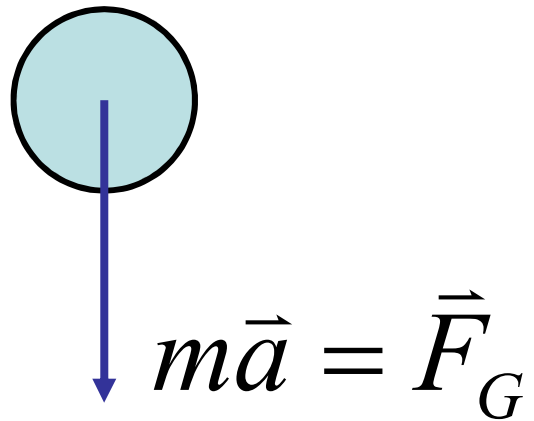
$$\longrightarrow v(t) = g \cdot t + c$$

Kontrolle

$$\frac{d}{dt} [g \cdot t + c] = g$$

221 Theorie

Lösung für die Gleichung

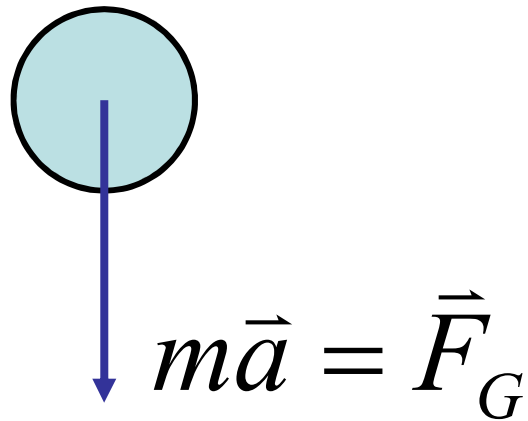


$$v(t) = g \cdot t + c$$

$$\longrightarrow s(t) = \frac{1}{2}gt^2 + v_0t + s_0$$

221 Theorie

Lösung für die Gleichung



$$v(t) = g \cdot t + c$$

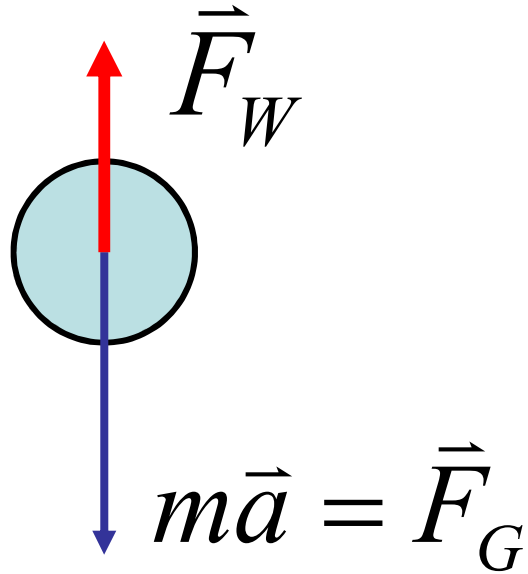
$$\longrightarrow s(t) = \frac{1}{2}gt^2 + v_0t + s_0$$

Kontrolle

$$\frac{d}{dt} \left[\frac{1}{2}gt^2 + v_0t + s_0 \right] = gt + v_0$$

221 Theorie

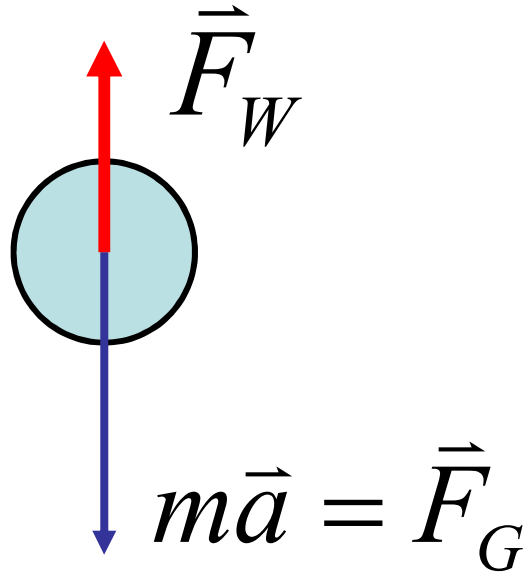
Mit Luftwiderstand:



$$ma = \sum_i F_i = F_G - F_W$$

221 Theorie

Mit Luftwiderstand:

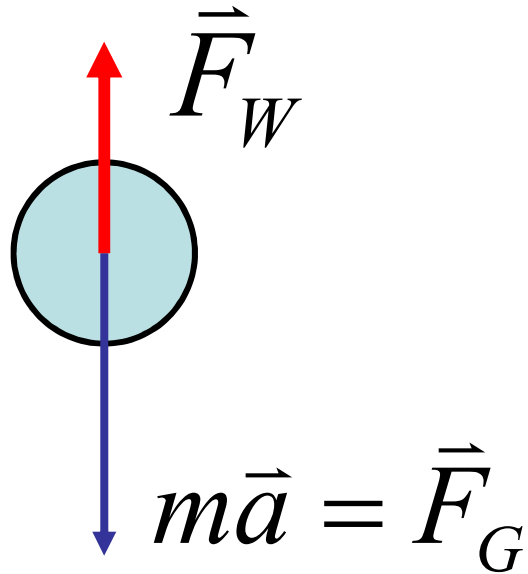


$$ma = \sum_i F_i = F_G - F_W$$

$$F_w = c_w \frac{\rho A}{2} \cdot v^2$$

221 Theorie

Mit Luftwiderstand:



$$ma = \sum_i F_i = F_G - F_W$$

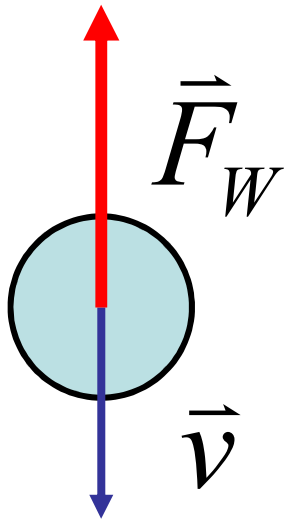
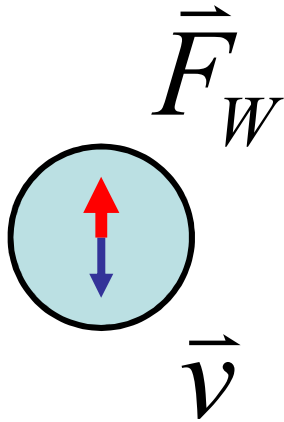
$$F_w = c_w \frac{\rho A}{2} \cdot v^2$$

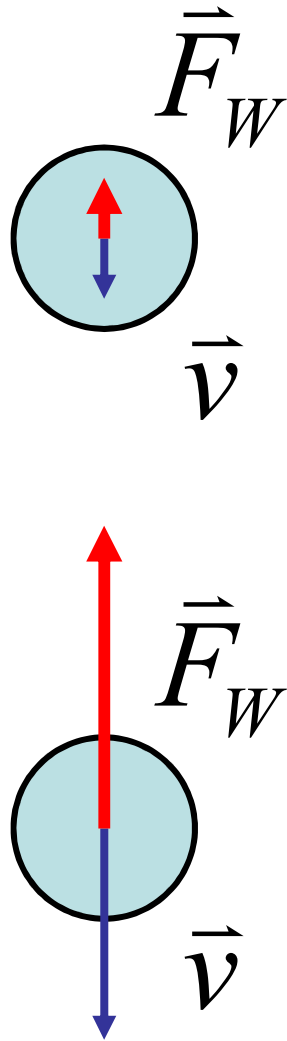
$$\rightarrow \frac{dv}{dt} = g - c_w \frac{\rho A}{2m} \cdot v^2$$

221 Theorie

Was ist die Lösung von:

$$\frac{dv}{dt} = -v^2$$





221 Theorie

Was ist die Lösung von:

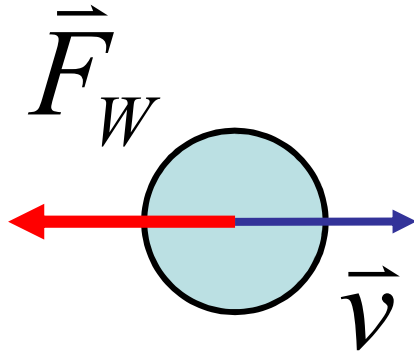
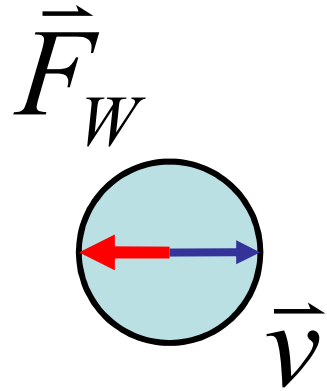
$$\frac{dv}{dt} = -v^2 = \frac{d}{dt} [t^{-1}] = -t^{-2}$$

$$\rightarrow v(t) = t^{-1}$$

221 Theorie

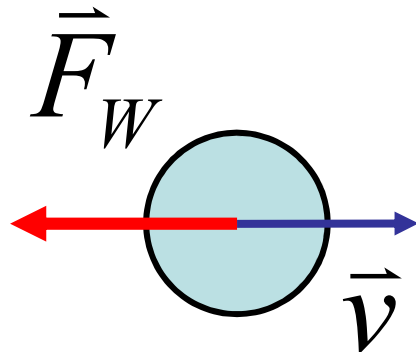
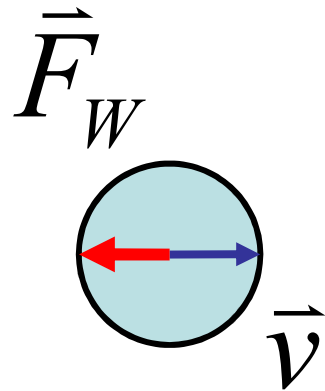
Was ist die Lösung von
(horizontale Bewegung):

$$\frac{dv}{dt} = -c_w \frac{\rho A}{2m} \cdot v^2$$



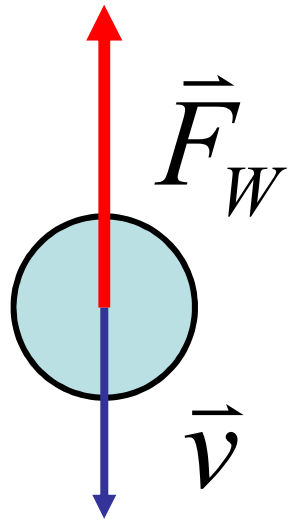
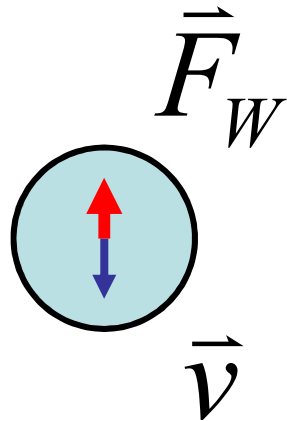
221 Theorie

Was ist die Lösung von
(horizontale Bewegung):



$$\frac{dv}{dt} = -c_w \frac{\rho A}{2m} \cdot v^2$$

$$\rightarrow v = v(t) = \left[\left(c_w \frac{\rho A}{2m} \right) \cdot t - c \right]^{-1}$$

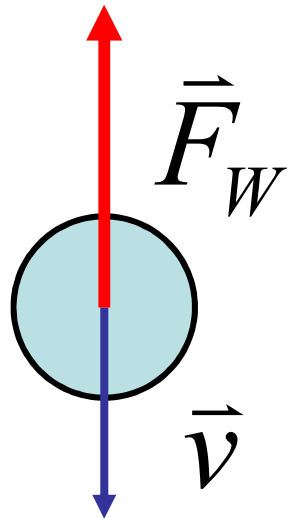
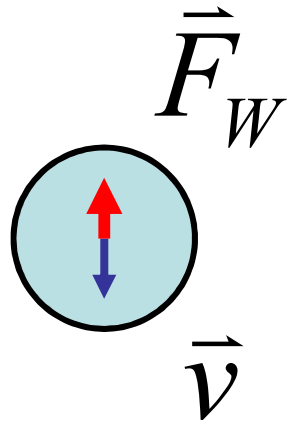


221 Theorie

Was ist die Lösung von
(vertikale Bewegung):

$$\frac{dv}{dt} = g - c_w \frac{\rho A}{2m} \cdot v^2$$





221 Theorie

Was ist die Lösung von
(vertikale Bewegung):

$$\frac{dv}{dt} = g - c_w \frac{\rho A}{2m} \cdot v^2$$

➔ Andere Variante:
Numerische Lösung!

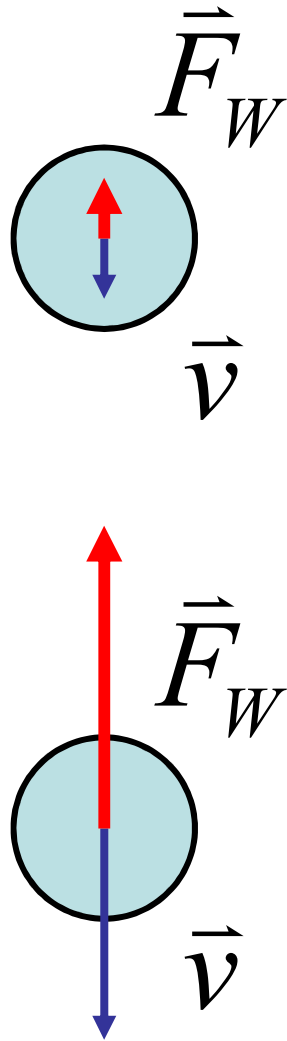
221 Theorie

numerische Lösung von
(horizontale Bewegung):

$$\frac{dv}{dt} = g - c_w \frac{\rho A}{2m} \cdot v^2$$

Einfaches schrittweises Verfahren (Euler)

$$v_{n+1} = v_n + \Delta v_n = v_n + \left(g - c_w \frac{\rho A}{2m} \cdot v_n^2 \right) \cdot \Delta t$$



221 Theorie

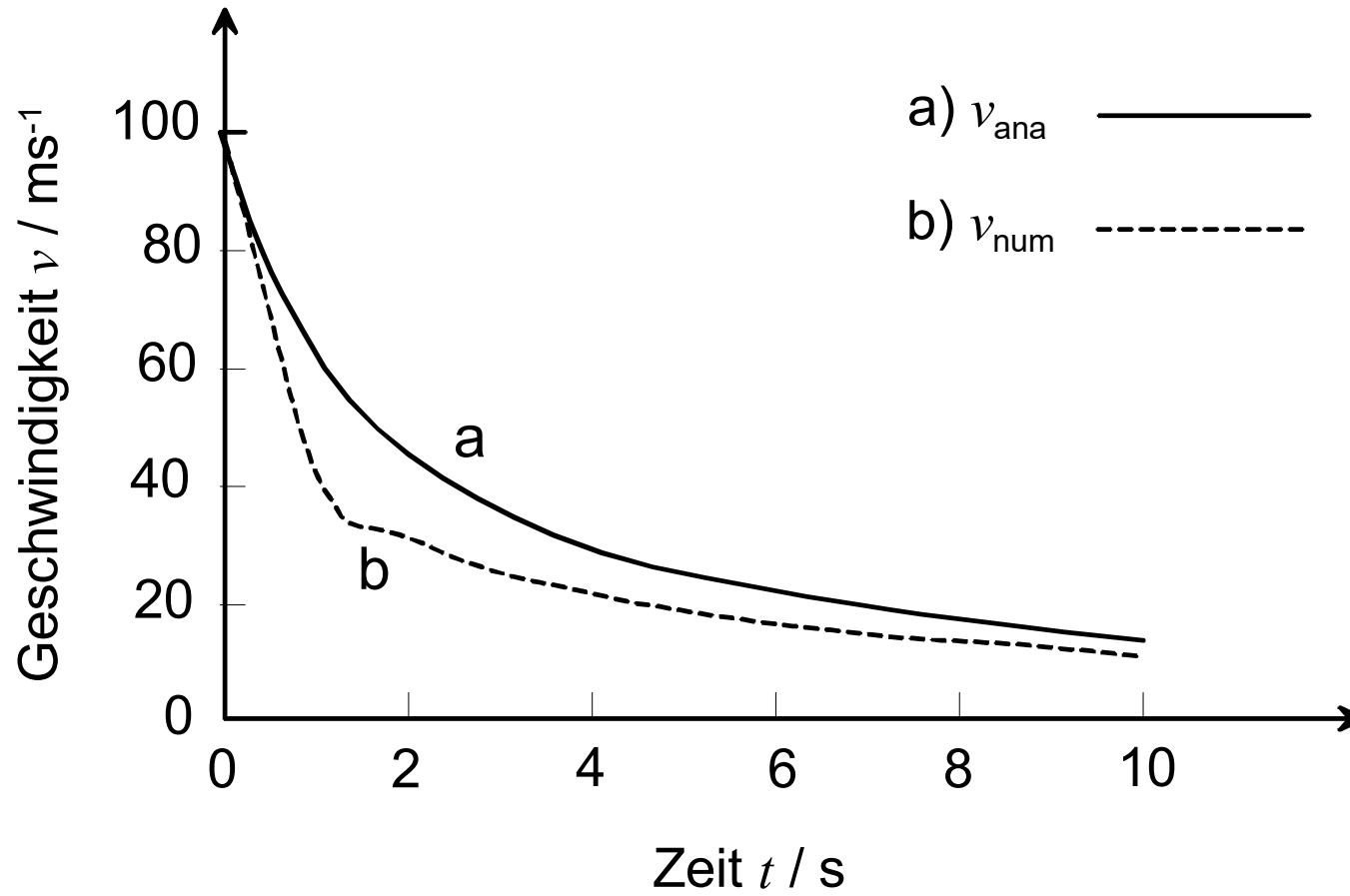
Tab.2. Berechnungstabelle für den freien Fall mit Luftwiderstand. Für den $n+1$ -ten Schritt die Geschwindigkeit v_{n+1} aus der Geschwindigkeit des n -ten Berechnungsschritts v_n und der Geschwindigkeitszunahme Δv_n berechnet.

⊕

Zeit t	Geschwindigkeit v	Differenz Δv	Strecke s
t_0	$v_0 = v(t_0)$	$\Delta v_0 =$ $(g - c_w \cdot \rho A (v_0)^2 / (2m)) \cdot (t_1 - t_0)$	s_0
t_1	$v_1 = v_0 + \Delta v_0$	$\Delta v_1 =$ $(g - c_w \cdot \rho A (v_1)^2 / (2m)) \cdot (t_2 - t_1)$	$s_1 =$ $v_0(t_1 - t_0) + s_0$
t_2	$v_2 = v_1 + \Delta v_1$	$\Delta v_2 =$ $(g - c_w \cdot \rho A (v_2)^2 / (2m)) \cdot (t_3 - t_2)$	$s_1 =$ $v_1(t_2 - t_1) + s_1$
t_3	$v_3 = v_2 + \Delta v_2$	$\Delta v_3 =$ $(g - c_w \cdot \rho A (v_3)^2 / (2m)) \cdot (t_4 - t_3)$	$s_1 =$ $v_2(t_3 - t_2) + s_2$

□

221 Aufgaben



222 Ballistische Kurven



222 Ziele

- numerische Lösung bei der Überlagerung von Bewegungen finden
- Probleme bei quadratischen Widerstands- / Kraftgesetzen bei der Beschreibung mehrdimensionaler Bewegungen kennen

222 Theorie

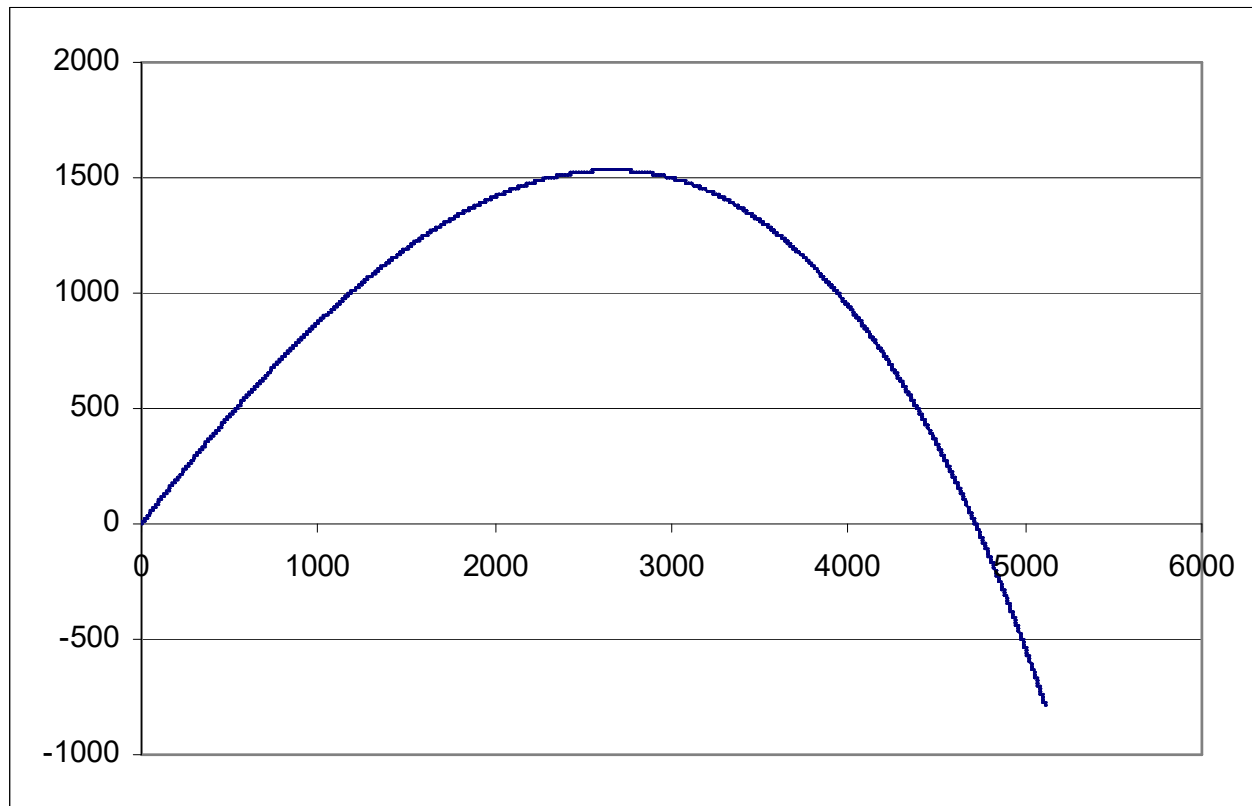
Berechnungstabelle für
Wurfbahn:

t	$v_x + \Delta v_x$	Δv_x	$x + \Delta x$	$v_y + \Delta v_y$	Δv_y	$y + \Delta y$
		$= -\Delta v \cdot \cos \alpha$	$= x + v_x \cdot \Delta t$		$= -g \cdot \Delta t - \Delta v \cdot \sin \alpha$	$= y + v_y \cdot \Delta t$

v	Δv	α
$= \sqrt{v_x^2 + v_y^2}$	$= c_w \frac{\rho A}{2m} \cdot v^2 \cdot \Delta t$	$= \arctan \left(\frac{v_y}{v_x} \right)$

222 Theorie

Wurfbahn mit Luftwiderstand: Ballistische Kurven



231 Impulserhaltung

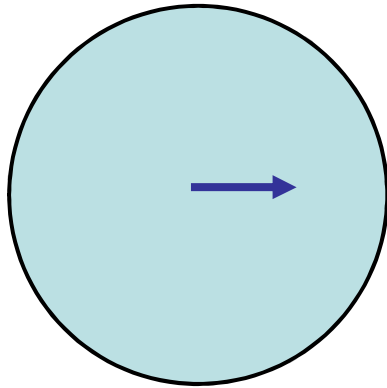


231 Ziele

- Definition Impuls verstehen und mit Kräften in Verbindung bringen können
- Kraft als Impulsstrom verstehen

231 Theorie

Impuls: So etwas wie eine
Bewegungsmenge?



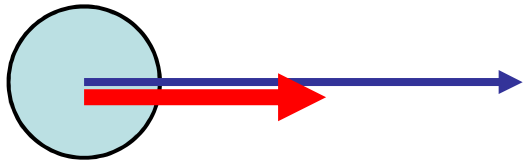
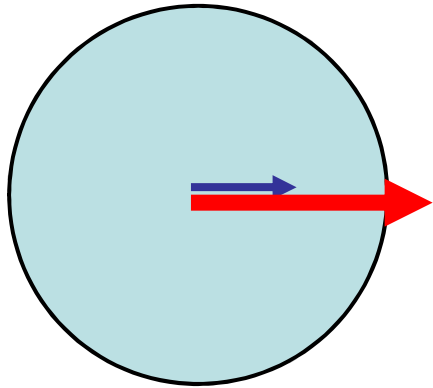
$$\vec{p} = m\vec{v}$$



231 Theorie

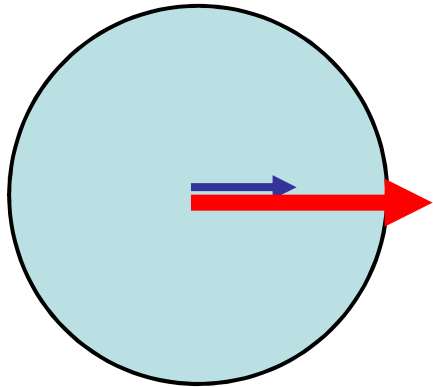
Impuls: So etwas wie eine
Bewegungsmenge?

$$\vec{p} = m\vec{v}$$



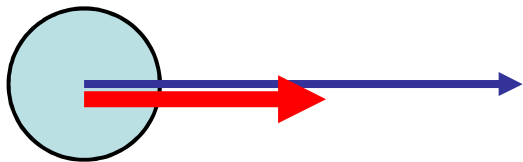
231 Theorie

Impuls und Kraft: dazwischen steckt eine zeitliche Ableitung



$$\vec{p} = m\vec{v}$$

$$\vec{F} = m \frac{d\vec{v}}{dt} + \vec{v} \frac{dm}{dt}$$

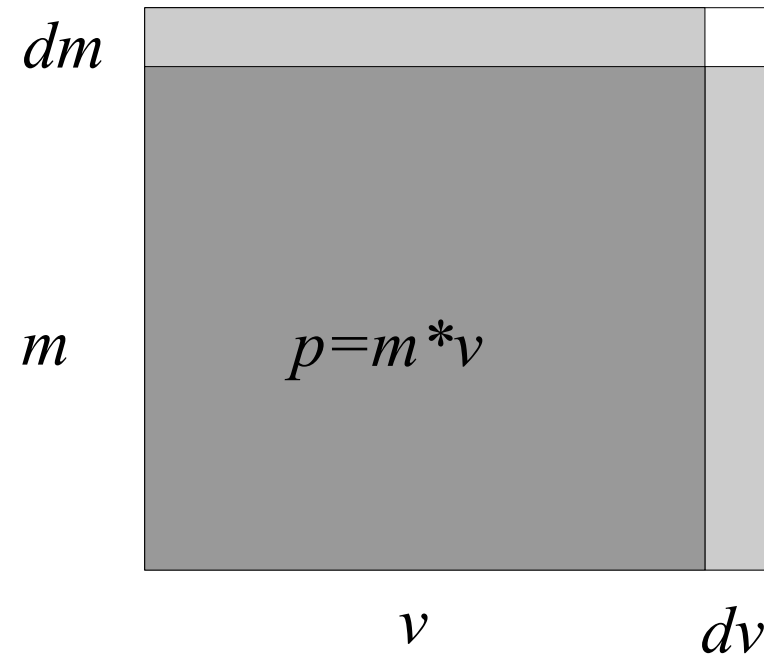
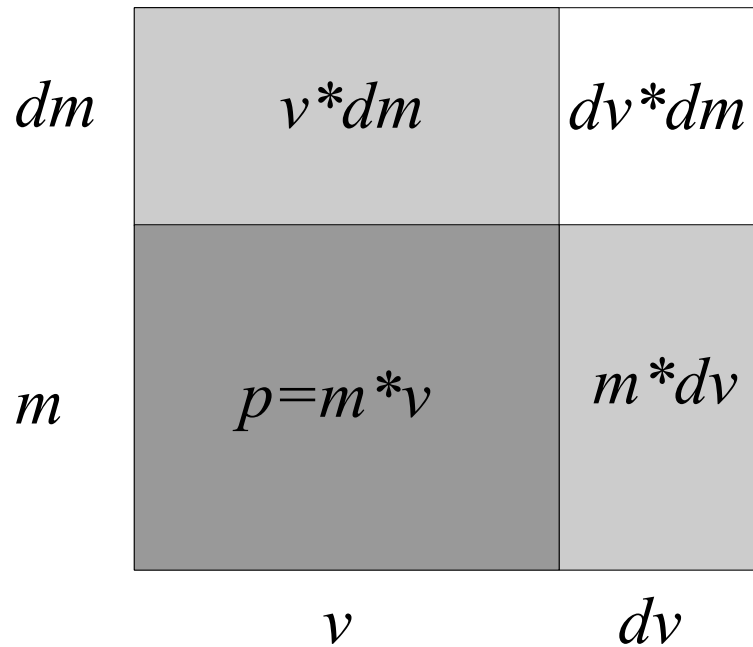


$$\vec{p} = m\vec{v}$$

$$\vec{F} = m \frac{d\vec{v}}{dt} + \vec{v} \frac{dm}{dt}$$

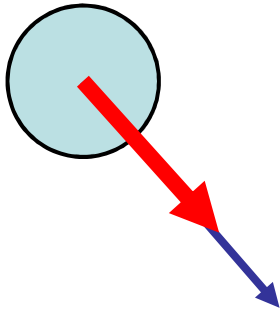
231 Theorie

Impuls und Kraft: dazwischen steckt eine zeitliche Ableitung



231 Theorie

Kraftvektor - Impulsvektor

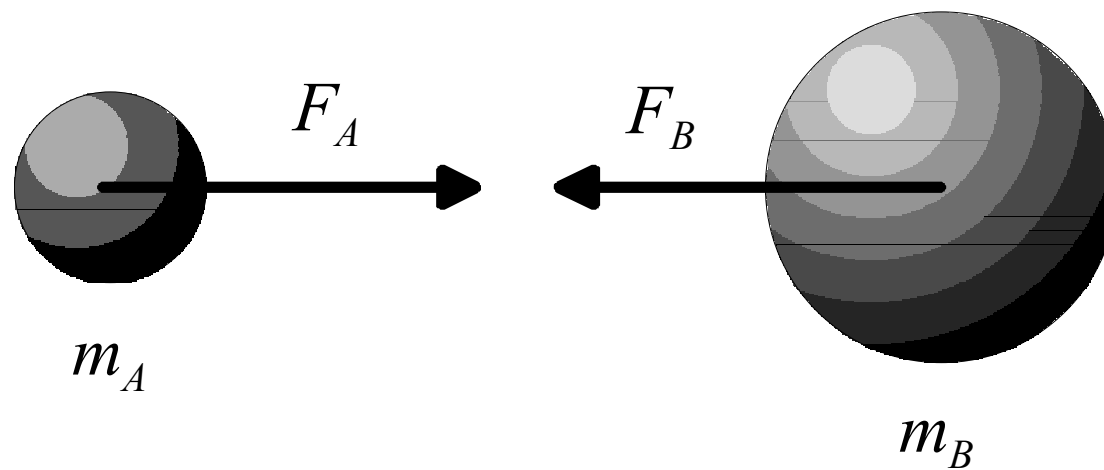


$$\vec{p} = m\vec{v}$$

$$\vec{F} = \frac{d\vec{p}}{dt} = m \frac{d\vec{v}}{dt} = m\vec{a}$$

231 Theorie

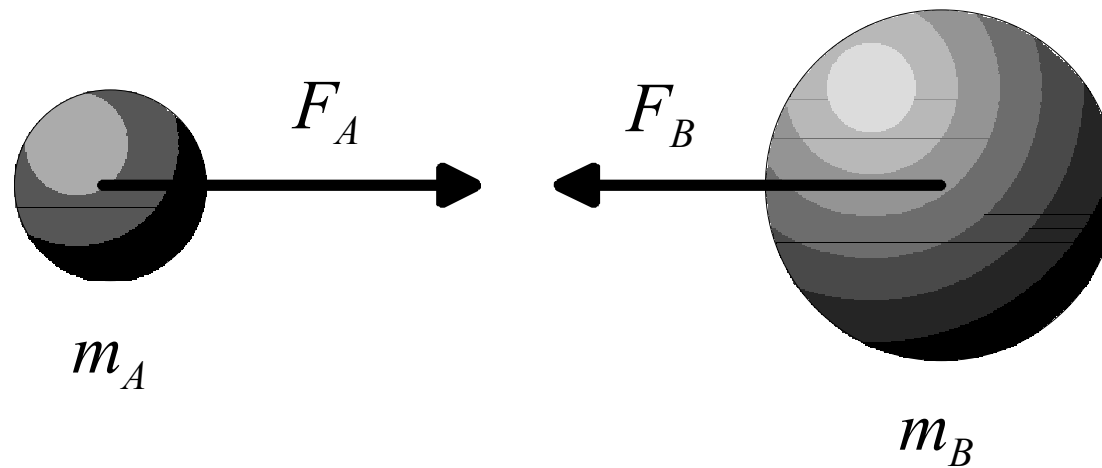
Impuls und Zweikörperproblem



231 Theorie

Impuls und
Zweikörperproblem

$$\vec{F}_A + \vec{F}_B = 0$$

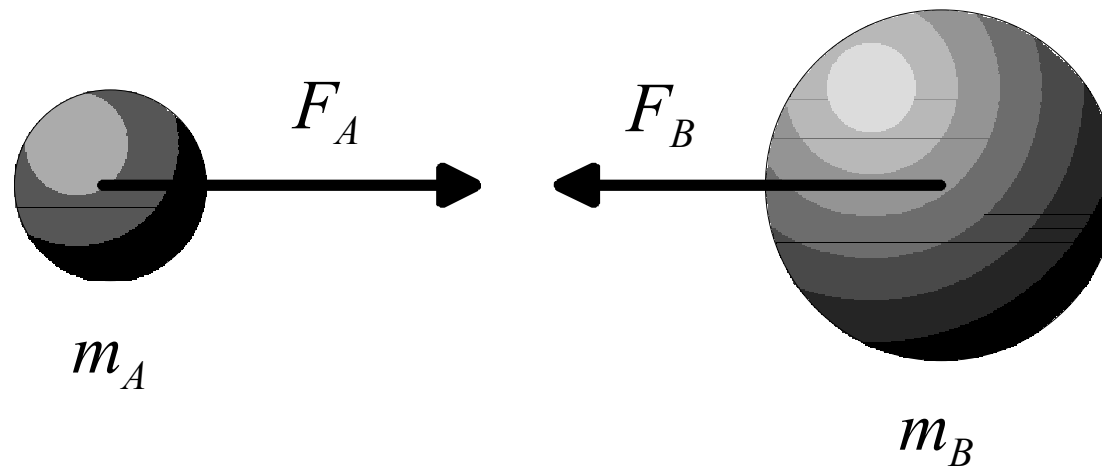


231 Theorie

Impuls und
Zweikörperproblem

$$\vec{F}_A + \vec{F}_B = 0$$

$$\rightarrow \frac{d\vec{p}}{dt} = \frac{d\vec{p}_A}{dt} + \frac{d\vec{p}_B}{dt} = 0$$



231 Theorie

Impulserhaltung

$$\vec{F}_A + \vec{F}_B = 0$$

$$\frac{d\vec{p}}{dt} = \frac{d\vec{p}_A}{dt} + \frac{d\vec{p}_B}{dt} = 0$$

$$\rightarrow \vec{p} = \vec{p}_A + \vec{p}_B = \text{const.}$$

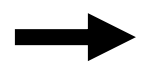
231 Theorie

Impulserhaltung

$$\vec{F}_A + \vec{F}_B = 0$$

$$\frac{d\vec{p}}{dt} = \frac{d\vec{p}_A}{dt} + \frac{d\vec{p}_B}{dt} = 0$$

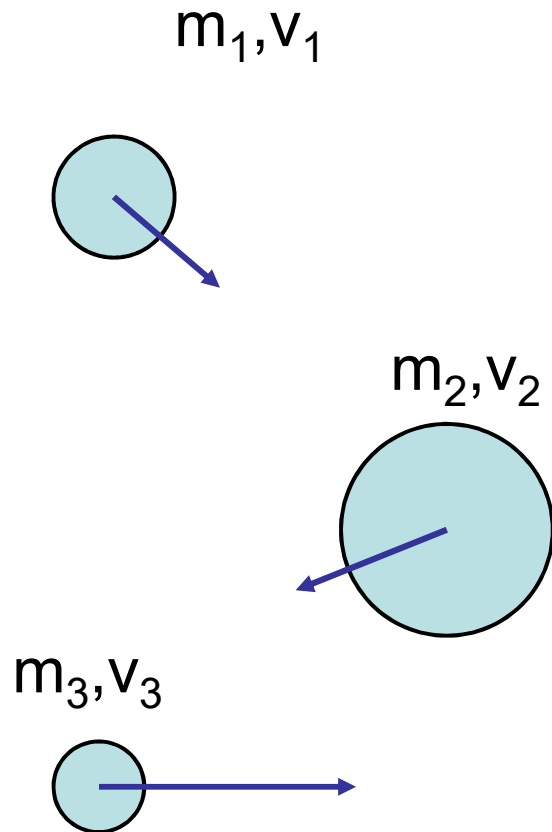
$$\vec{p} = \vec{p}_A + \vec{p}_B = \text{const.}$$



$$\vec{p}_A(t_1) + \vec{p}_B(t_1) = \vec{p}_A(t_2) + \vec{p}_B(t_2)$$

231 Theorie

Geschwindigkeit des
Schwerpunktes



$$(m_A + m_B)\vec{v} = m_A\vec{v}_A + m_B\vec{v}_B$$

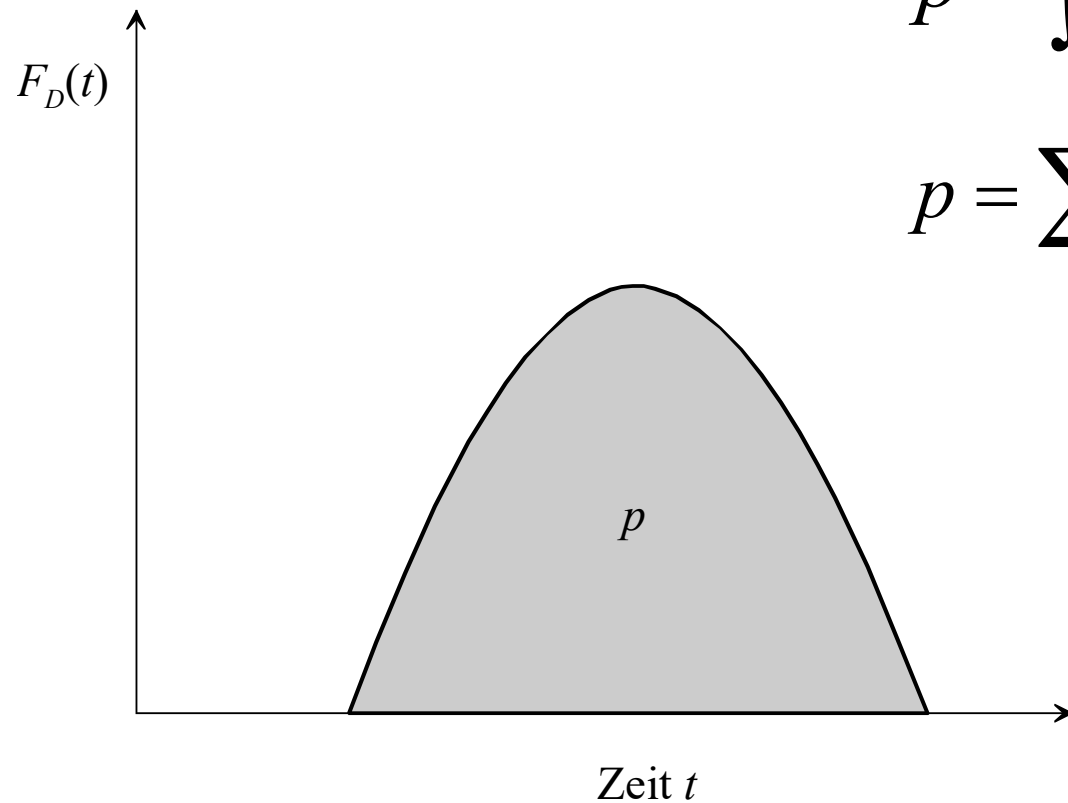
$$\vec{v} = \frac{m_A\vec{v}_A + m_B\vec{v}_B}{m_A + m_B} = \frac{\sum_i \vec{p}_i}{\sum_i m_i}$$

231 Theorie

Kraftstoss

$$p = \int F_D \cdot dt$$

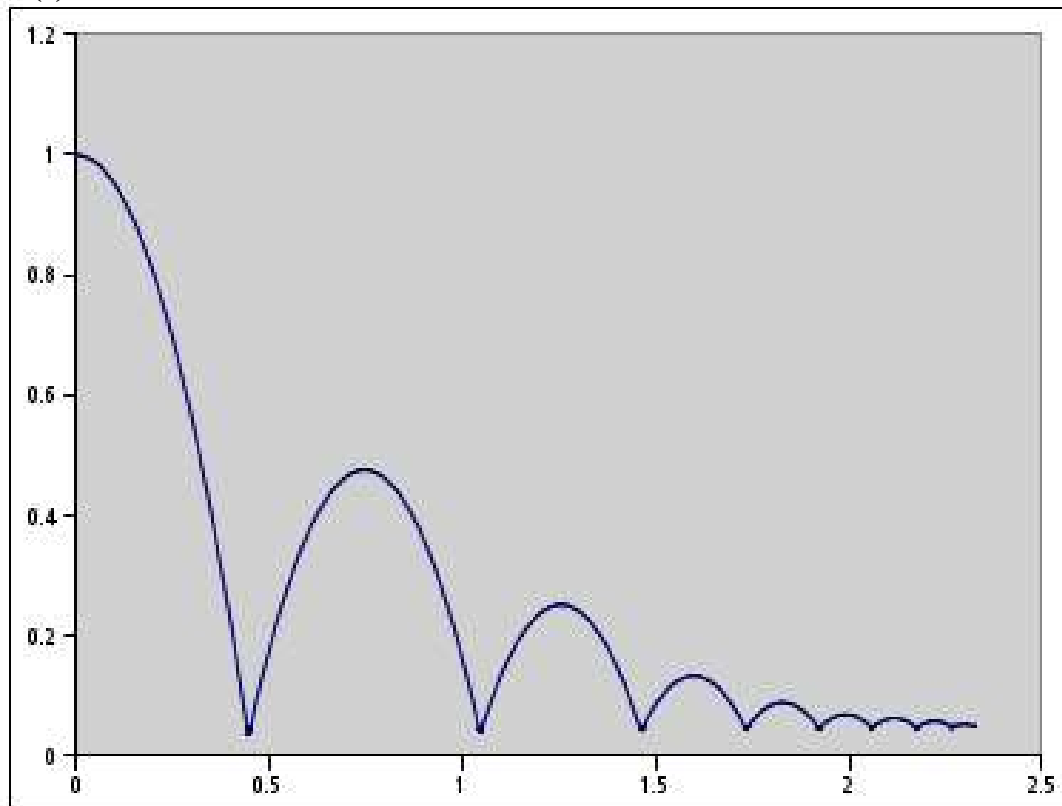
$$p = \sum_i \Delta p_i = \sum_i F_D(t_i) \cdot \Delta t$$



231 Aufgaben

springender / hüpfender Ball

$h(t) / \text{m}$



Zeit t / s

232 Computersimulation von Impulsänderungen



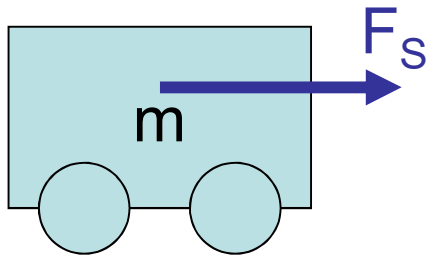
232 Ziele

- einfache (angetriebene) Systeme als kompartmentale Impulsmodelle abbilden können
- Graphische Modelleditoren zur Modellierung und Simulation einsetzen können

232 Theorie

einfaches System mit Antrieb

$$\frac{dp}{dt} = \beta(u - v(t))$$

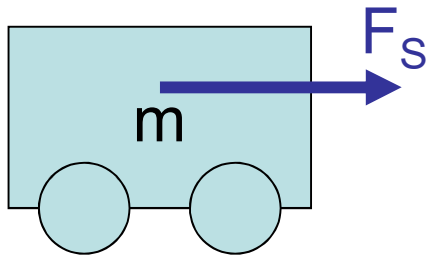


$$\frac{dp}{dt} = \beta \cdot \left(u - \frac{p}{m} \right)$$

232 Theorie

Lösen der Gleichung durch
Substitution

$$\frac{dp}{dt} = \beta \cdot \left(u - \frac{p}{m} \right)$$

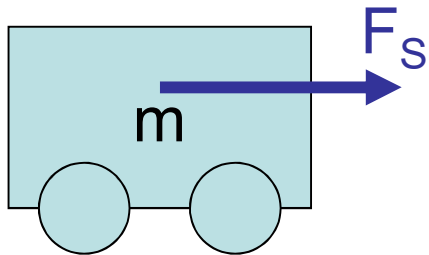


$$\xi(t) = u - p / m$$

232 Theorie

Lösen der Gleichung durch
Substitution

$$\frac{dp}{dt} = \beta \cdot \left(u - \frac{p}{m} \right)$$



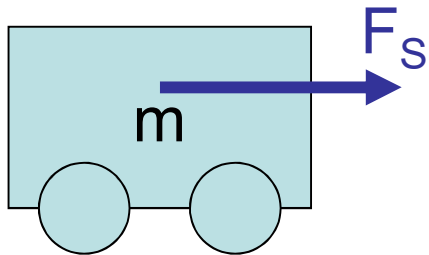
$$\xi(t) = u - p / m$$

$$\dot{\xi} = -\dot{p} / m$$

232 Theorie

Lösen der Gleichung durch
Substitution

$$\frac{dp}{dt} = \beta \cdot \left(u - \frac{p}{m} \right)$$



$$\xi(t) = u - p / m$$

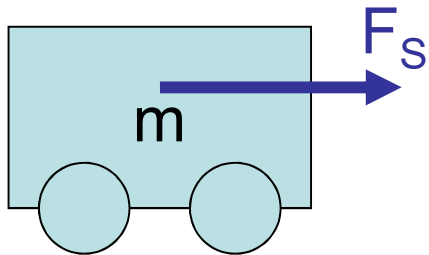
$$\dot{\xi} = -\dot{p} / m$$

$$\frac{d\xi}{dt} = -\frac{\beta}{m} \cdot \xi$$

232 Theorie

Lösen der Gleichung

$$\frac{d\xi}{dt} = -\frac{\beta}{m} \cdot \xi$$



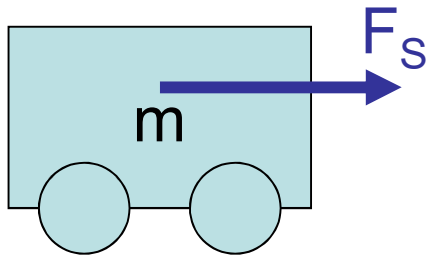
Ansatz:

$$\xi(t) = c \cdot e^{-\frac{\beta}{m} \cdot t}$$

232 Theorie

Rücksubstitution

$$\xi(t) = c \cdot e^{-\frac{\beta}{m} \cdot t}$$

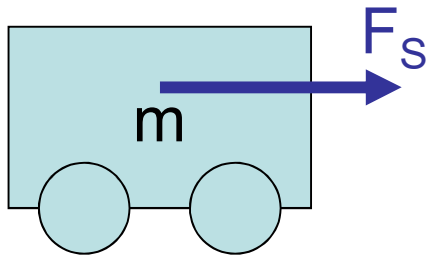


$$p(t) = mu - m\xi(t)$$

232 Theorie

Rücksubstitution

$$\xi(t) = c \cdot e^{-\frac{\beta}{m} \cdot t}$$



$$p(t) = mu - m\xi(t)$$

$$p(t) = mu - mc \cdot e^{-\frac{\beta}{m} t}$$

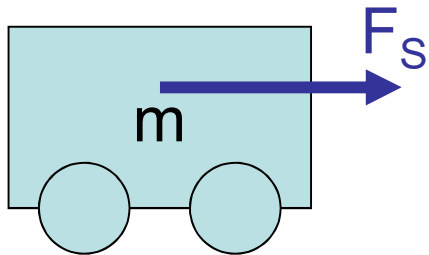
232 Theorie

Bestimmung des
Anfangswertes

$$p(t) = mu - mc \cdot e^{-\frac{\beta}{m}t}$$

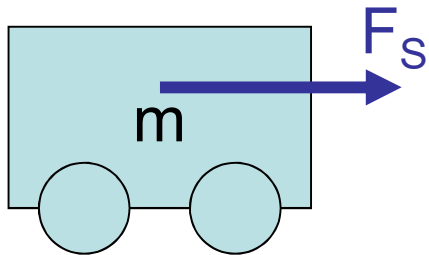
$$t = 0s$$

$$p(t = 0s) = p(0s) = p_0$$



232 Theorie

Bestimmung des
Anfangswertes



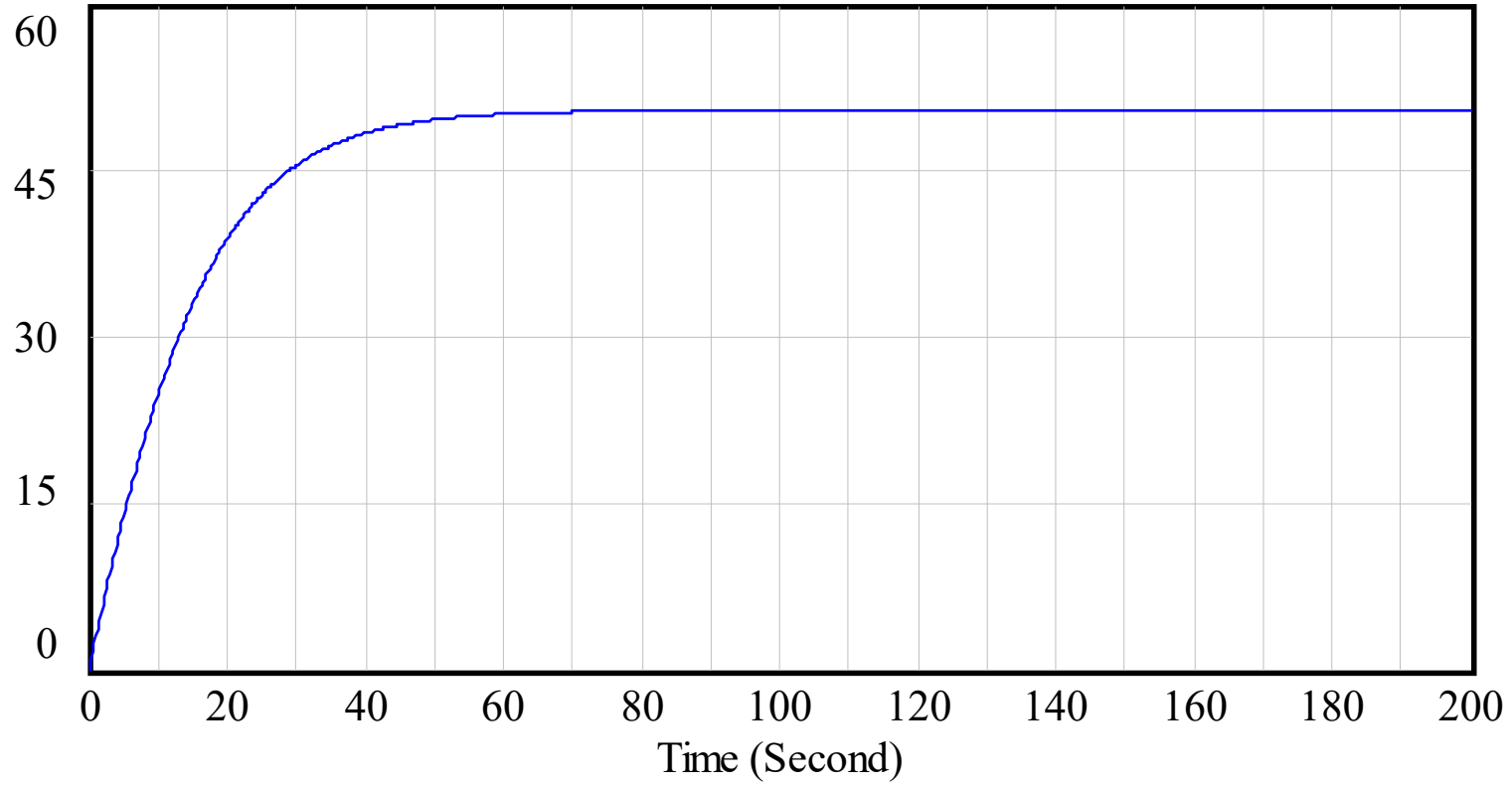
$$p(t) = mu - mc \cdot e^{-\frac{\beta}{m}t}$$

$$t = 0s$$

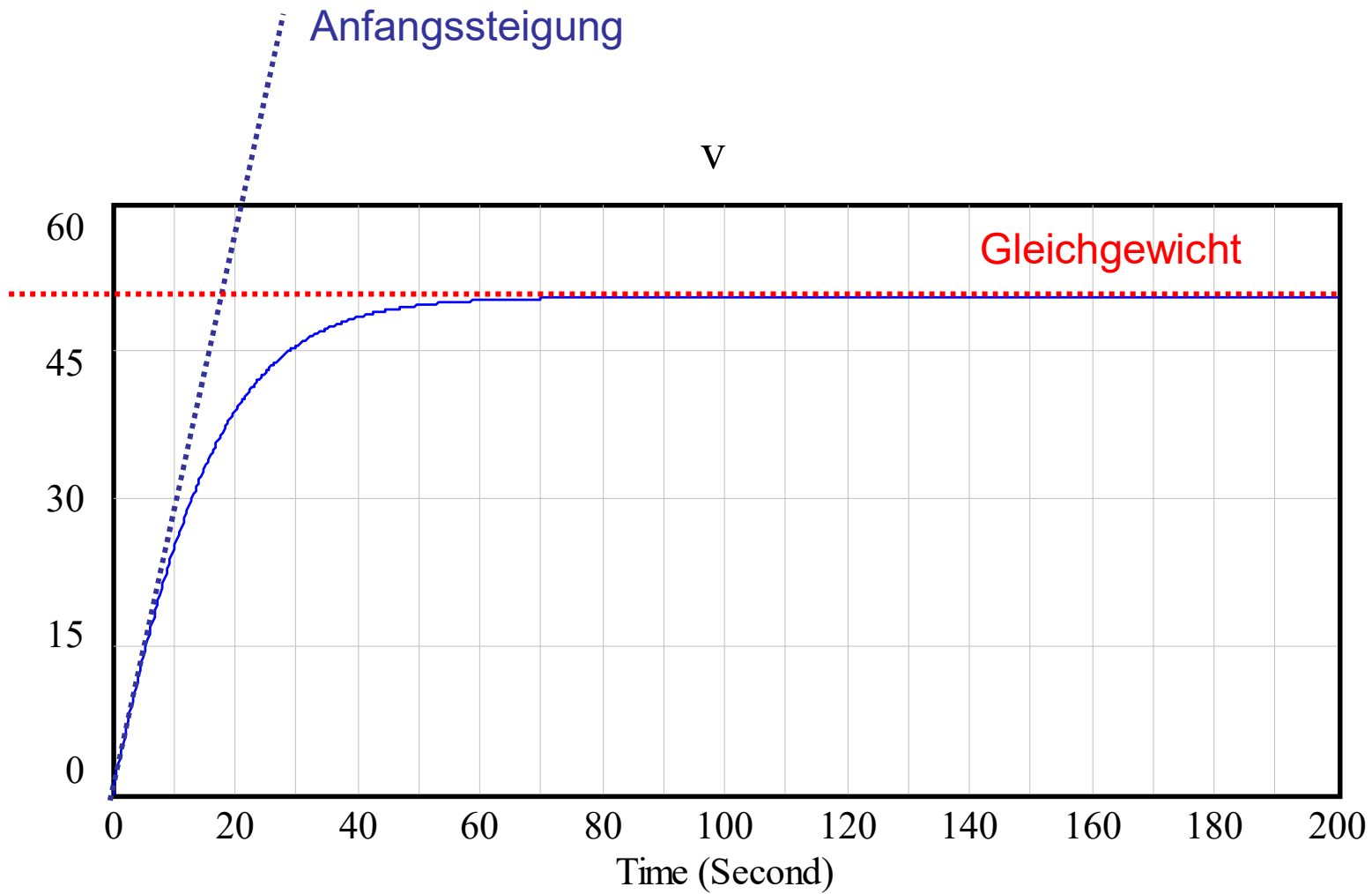
$$p(t = 0s) = p(0s) = p_0$$

$$p(t) = mu - (mu - p_0) \cdot e^{-\frac{\beta}{m} \cdot t}$$

V



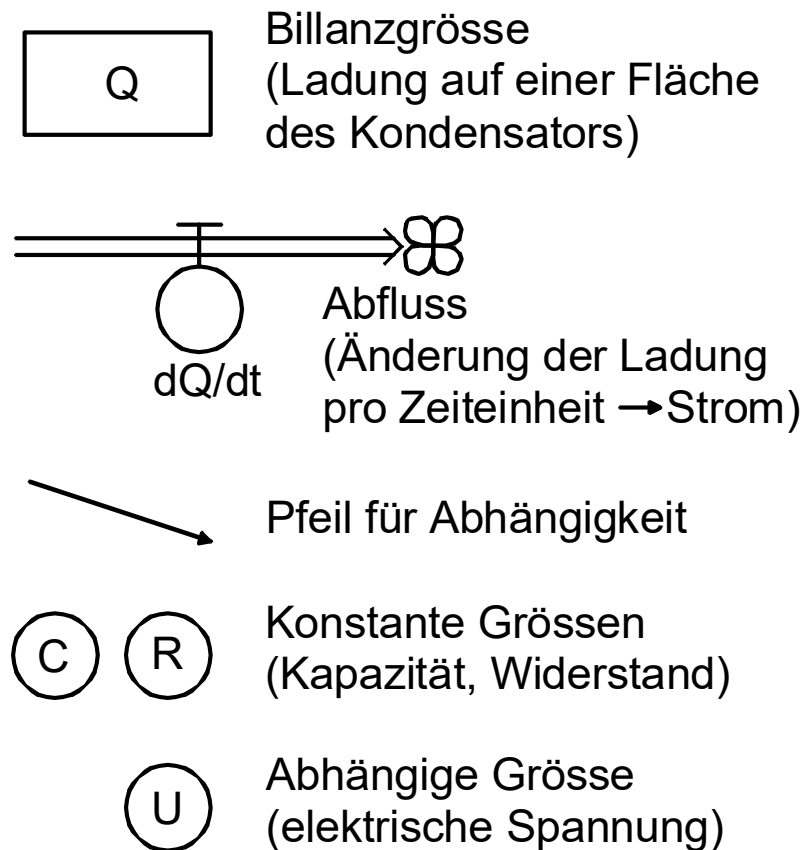
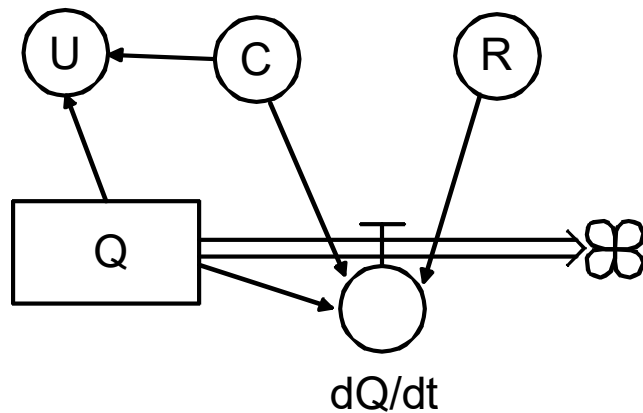
v : Current m/s



v : Current m/s

232 Theorie

graphische Modelleditoren



233 Simulation eines Raketenfluges

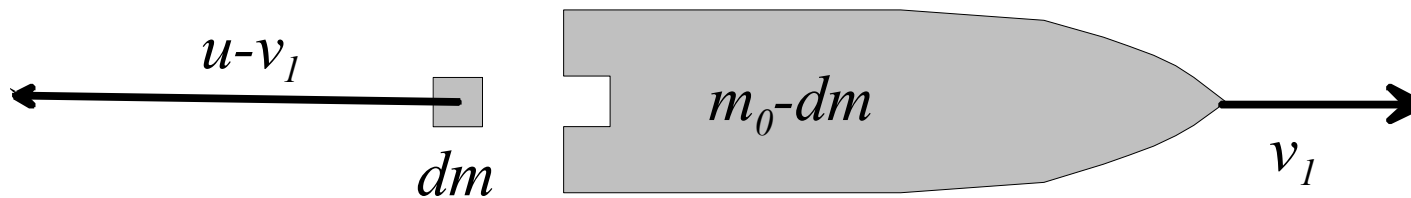


233 Ziele

- Systeme mit veränderlicher Masse beschreiben bzw. modellieren können
- graphische Modelleditoren zur Beschreibung / Modellierung und Simulation von Raketen einsetzen können

233 Theorie

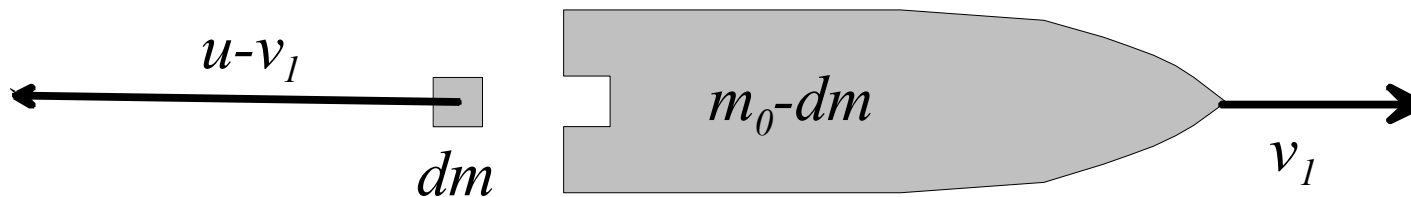
Repulsives Antriebssystem
durch Ausstoss von Masse



233 Theorie

Repulsives Antriebssystem
durch Ausstoss von Masse

$$0 = -dm \cdot (u - v_1) + (m_0 - dm) \cdot v_1$$

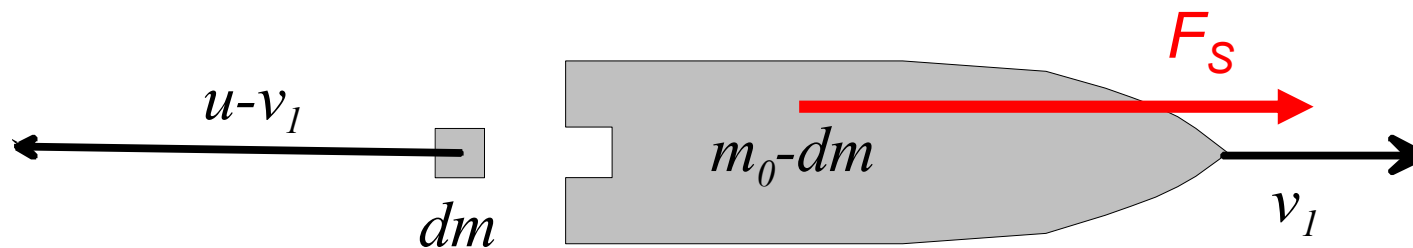


233 Theorie

Schubkraft $F_S = u \cdot dm/dt$

$$v_1 = \frac{dm}{m_0} \cdot u$$

$$dp = m v_1 = u \cdot dm$$

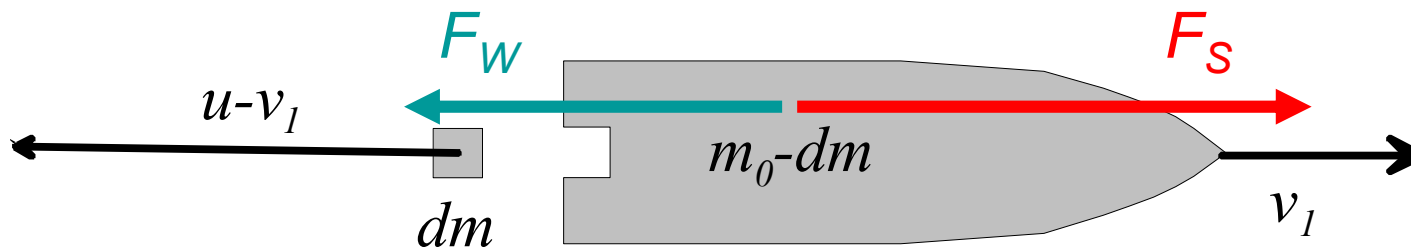


233 Theorie

Alle Kräfte

$$\frac{dp}{dt} = \dot{m} \cdot v + m \cdot \dot{v} = F_S + F_G + F_W$$

$$= \dot{m} \cdot u + F_G + F_W$$



233 Theorie

$$m \cdot \dot{v} = u \cdot \dot{m} - v \cdot \dot{m} + F_G + F_W$$

$$m \cdot \frac{dv}{dt} = \frac{dm}{dt} \cdot (u - v) + F_G + F_W$$

$$= \frac{dm}{dt} \cdot (u^*) + F_G + F_W$$

Alle Kräfte:
Transformation
Laborsystem (u
veränderlich) ins
Bezugssystem

Rakete:

$$u = u^* + v$$

also:

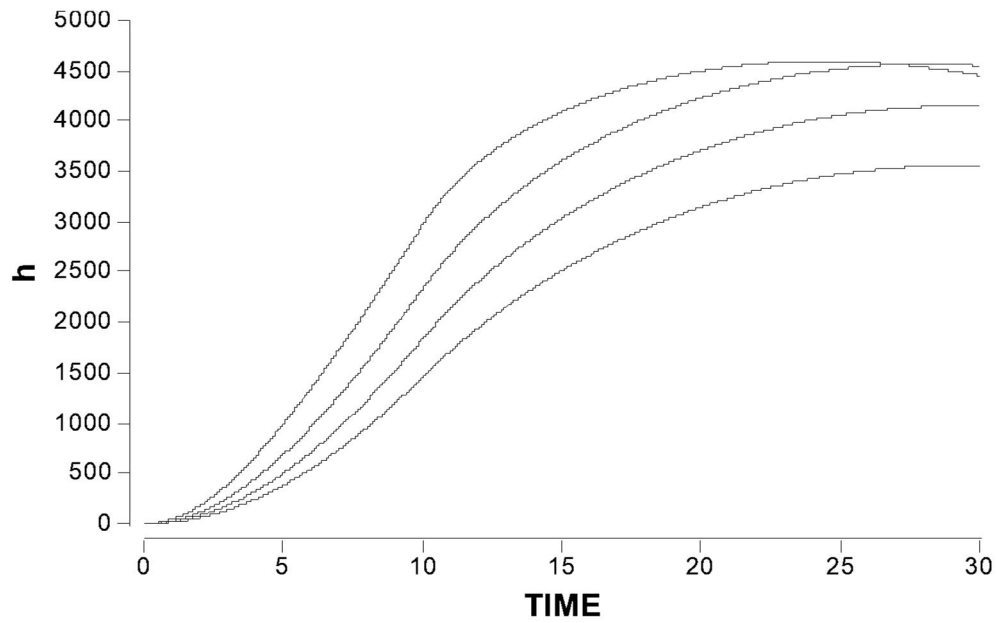
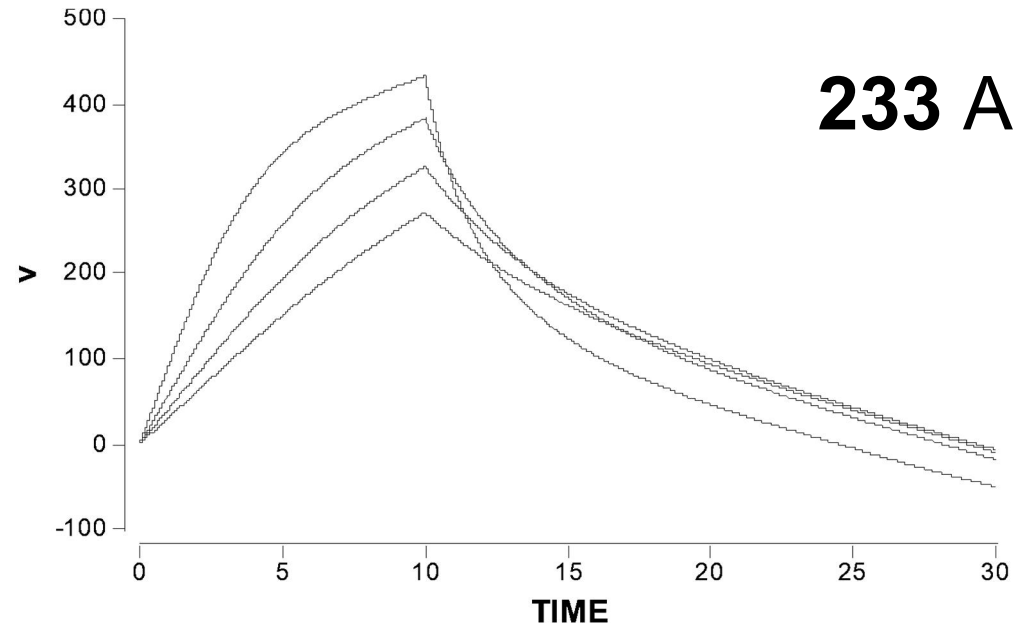
$$u^* = u - v$$

233 Theorie

Alle Kräfte

$$m \cdot \frac{dv}{dt} = \frac{dm}{dt} \cdot (u^*) + F_G + F_W$$
$$= (u^*) \cdot \frac{dm}{dt} - m(t) \cdot g - c_w \frac{\rho A}{2} \cdot (v(t))^2$$

233 Aufgaben



234 Simulation eines Zweikörperproblems



234 Ziele

- 2-Dim.- Bewegungen modellieren und simulieren können
- (Repetition Gravitation)

234 Theorie

$$\dot{p} = dp / dt = \sum_i F_i$$

234 Theorie

$$\dot{\vec{p}} = dp / dt = \sum_i F_i$$

$$\frac{d\vec{p}}{dt} = -\gamma \frac{mM}{r^2} \cdot \frac{\vec{r}}{|r|} = -\gamma mM \cdot \frac{\vec{r}}{|r^3|}$$

234 Theorie

$$\dot{\vec{p}} = dp / dt = \sum_i F_i$$

$$\frac{d\vec{p}}{dt} = -\gamma \frac{mM}{r^2} \cdot \frac{\vec{r}}{|r|} = -\gamma mM \cdot \frac{\vec{r}}{|r^3|}$$

$$\frac{dv_x}{dt} = \frac{1}{m} \cdot \frac{dp_x}{dt} = -\gamma M \cdot \frac{x}{|r^3|}$$

$$\frac{dv_y}{dt} = \frac{1}{m} \cdot \frac{dp_y}{dt} = -\gamma M \cdot \frac{y}{|r^3|}$$

234 Resultate

